CIE02 tristimulus values, chromatic values, and putities (n_a=2,5, n_b=−1,0).
Normalized *Ostwald (O)* tristimulus values (Y_w=100), ordered by wavelength.

no. O C	λ_n	tristimulus values *X*	*Y*	*Z*	chromaticities *x*	*y*	*z*	*nu*-chromatic values A_{nu}	B_{nu}	C_{ABnu}	h_{ABnu}
00 396		31,24	12,19	76,69	0,260	0,101	0,638	11,9	−66,6	67,7	280
01 463		13,25	6,34	78,11	0,135	0,064	0,799	−16,3	−72,8	74,7	257
02 466		13,27	8,01	79,21	0,132	0,079	0,788	−19,5	−72,6	75,2	254
03 471		13,39	12,66	80,68	0,125	0,118	0,755	−27,5	−70,2	75,4	248
04 475B		14,00	19,21	81,44	0,122	0,167	0,710	−37,4	−65,6	75,5	240
05 479		15,61	27,50	81,85	0,124	0,220	0,655	−47,8	−59,2	76,1	231
06 481		18,42	36,66	82,05	0,134	0,267	0,598	−57,1	−51,9	77,2	222
07 483		20,35	41,45	82,11	0,141	0,288	0,570	−61,0	−48,0	77,7	218
08 484		22,64	46,29	82,14	0,149	0,306	0,543	−64,3	−44,0	77,9	214
09 485		25,29	51,06	82,16	0,159	0,322	0,518	−66,6	−40,1	77,8	211
10 486C		29,62	57,81	81,62	0,175	0,341	0,482	−68,5	−34,0	76,5	206
11 490		26,32	58,17	63,51	0,177	0,393	0,429	−68,2	−15,6	70,0	192
12 497		23,01	58,66	42,48	0,185	0,472	0,342	−66,9	5,7	67,1	175
13 501		22,62	59,57	35,18	0,192	0,507	0,299	−66,1	13,7	67,5	168
14 506		22,26	60,29	28,28	0,200	0,543	0,255	−65,0	21,2	68,4	161
15 519		21,83	61,02	17,06	0,218	0,610	0,170	−62,3	33,1	70,6	152
16 522G		24,04	63,42	17,06	0,230	0,606	0,163	−61,7	35,0	71,0	150
17 535		27,22	66,19	9,71	0,263	0,641	0,094	−56,5	44,7	72,1	141
18 544		35,20	72,16	7,33	0,306	0,629	0,063	−48,8	52,0	71,3	133
19 561		65,07	87,80	5,54	0,410	0,554	0,034	−11,8	66,6	67,7	100
20 568		83,05	93,65	4,13	0,459	0,517	0,022	16,3	72,8	74,6	77
21 569		83,03	91,98	3,02	0,466	0,516	0,016	19,5	72,6	75,2	74
22 571		82,92	87,33	1,55	0,482	0,508	0,009	27,5	70,2	75,4	68
23 573Y		82,30	80,76	0,80	0,502	0,492	0,004	37,4	65,6	75,5	60
24 577		80,69	72,49	0,38	0,525	0,472	0,002	47,8	59,2	76,1	51
25 581		77,87	63,33	0,18	0,550	0,447	0,001	57,1	51,8	77,2	42
26 583		75,96	58,54	0,13	0,564	0,434	0,000	61,1	48,0	77,7	38
27 585		73,67	53,70	0,09	0,577	0,421	0,000	64,3	44,0	77,9	34
28 587		71,01	48,93	0,07	0,591	0,407	0,000	66,7	40,1	77,8	31
29 592R		66,69	42,18	0,61	0,609	0,385	0,005	68,5	34,0	76,5	26
30 631		69,99	41,82	18,71	0,536	0,320	0,143	68,2	15,6	70,0	12
31 702		73,30	41,33	39,75	0,474	0,267	0,257	66,9	−5,7	67,2	355
32 706		73,69	40,41	47,04	0,457	0,250	0,291	66,1	−13,8	67,5	348
33 711		74,05	39,70	53,95	0,441	0,236	0,321	65,1	−21,3	68,5	341
34 724		74,48	38,97	65,18	0,416	0,218	0,364	62,4	−33,1	70,6	332
35 727M		72,26	36,57	65,17	0,415	0,210	0,374	61,7	−35,1	71,0	330
36 740		69,08	33,80	72,53	0,393	0,192	0,413	56,6	−44,7	72,1	321
37 749		61,10	27,83	74,91	0,372	0,169	0,457	48,8	−52,0	71,3	313
38 766		31,24	12,19	76,69	0,260	0,101	0,638	11,9	−66,6	67,7	280
39 828		13,25	6,34	78,11	0,135	0,064	0,799	−16,3	−72,8	74,7	257
U=D50		**96,31**	**99,99**	**82,24**	**0,345**	**0,358**	**0,358**	**0,0**	**0,0**	**0,0**	**0**

$a=p_{anu}=n_a p_a=2{,}5[(1{,}000x-0{,}171+0{,}000z)/y]$ $A_{nu}=(a-a_u)\,Y$ $C_{ABnu}=[A^2_{nu}+B^2_{nu}]^{1/2}$
$b=p_{bnu}=n_b p_b=-1{,}0[(0{,}000x+0{,}000+1{,}000z)/y]$ $B_{nu}=(b-b_u)\,Y$ $h_{ABnu}=\text{atan}[B_{nu}/A_{nu}]$

DE710−3N

CIE02 tristimulus values, chromatic values, and putities (n_a=2,5, n_b=−1,0).
Normalized *Ostwald (O)* tristimulus values (Y_w=100), ordered by wavelength.

no. O C	λ_n	*n*-purities *Y*	p_{an}	p_{bn}	p_{rn}	h_{abn}	*nu*-purities p_{anu}	p_{bnu}	p_{rnu}	h_{abnu}
00 396		12,19	2,19	−6,29	6,66	289	0,97	−5,46	5,55	280
01 463		6,34	−1,36	−12,32	12,39	263	−2,57	−11,49	11,78	257
02 466		8,01	−1,22	−9,88	9,96	262	−2,43	−9,06	9,38	254
03 471		12,66	−0,95	−6,37	6,44	261	−2,17	−5,55	5,96	248
04 475B		19,21	−0,72	−4,23	4,29	260	−1,94	−3,41	3,93	240
05 479		27,50	−0,52	−2,97	3,02	260	−1,74	−2,15	2,76	231
06 481		36,66	−0,34	−2,23	2,26	261	−1,55	−1,41	2,10	222
07 483		41,45	−0,25	−1,98	1,99	262	−1,47	−1,15	1,87	218
08 484		46,29	−0,17	−1,77	1,78	264	−1,38	−0,95	1,68	214
09 485		51,06	−0,08	−1,60	1,61	266	−1,30	−0,78	1,52	211
10 486C		57,81	0,03	−1,41	1,41	271	−1,18	−0,58	1,32	206
11 490		58,17	0,04	−1,09	1,09	272	−1,17	−0,26	1,20	192
12 497		58,66	0,07	−0,72	0,72	275	−1,14	0,09	1,14	175
13 501		59,57	0,10	−0,59	0,60	280	−1,10	0,23	1,13	168
14 506		60,29	0,13	−0,46	0,48	286	−1,07	0,35	1,13	161
15 519		61,02	0,19	−0,27	0,34	304	−1,02	0,54	1,15	152
16 522G		63,42	0,24	−0,26	0,36	312	−0,97	0,55	1,11	150
17 535		66,19	0,36	−0,14	0,39	337	−0,85	0,67	1,08	141
18 544		72,16	0,54	−0,10	0,54	349	−0,67	0,72	0,98	133
19 561		87,80	1,08	−0,06	1,08	356	−0,13	0,75	0,77	100
20 568		93,65	1,39	−0,04	1,39	358	0,17	0,77	0,79	77
21 569		91,98	1,42	−0,03	1,42	358	0,21	0,78	0,81	74
22 571		87,33	1,53	−0,01	1,53	359	0,31	0,80	0,86	68
23 573Y		80,76	1,68	−0,00	1,68	359	0,46	0,81	0,93	60
24 577		72,49	1,87	−0,00	1,87	359	0,66	0,81	1,05	51
25 581		63,33	2,11	−0,00	2,11	359	0,90	0,81	1,21	42
26 583		58,54	2,26	−0,00	2,26	359	1,04	0,82	1,32	38
27 585		53,70	2,41	−0,00	2,41	359	1,19	0,82	1,45	34
28 587		48,93	2,58	−0,00	2,58	359	1,36	0,82	1,59	31
29 592R		42,18	2,84	−0,01	2,84	359	1,62	0,80	1,81	26
30 631		41,82	2,84	−0,44	2,88	351	1,63	0,37	1,67	12
31 702		41,33	2,83	−0,96	2,99	341	1,62	−0,13	1,62	355
32 706		40,41	2,85	−1,16	3,08	337	1,63	−0,34	1,67	348
33 711		39,70	2,85	−1,35	3,16	334	1,64	−0,53	1,72	341
34 724		38,97	2,81	−1,67	3,27	329	1,60	−0,85	1,81	332
35 727M		36,57	2,90	−1,78	3,40	328	1,68	−0,95	1,94	330
36 740		33,80	2,89	−2,14	3,60	323	1,67	−1,32	2,13	321
37 749		27,83	2,97	−2,69	4,00	317	1,75	−1,86	2,56	313
38 766		12,19	2,19	−6,29	6,66	289	0,97	−5,46	5,55	280
39 828		6,34	−1,36	−12,32	12,39	263	−2,57	−11,49	11,78	257
U=D50		**99,99**	**1,216**	**−0,822**	**1,468**	**325**	**0,0**	**0,0**	**0,0**	**0**

$a=p_{an}=n_a p_a=2{,}5[(1{,}000x-0{,}171+0{,}000z)/y]$ $A_{nu}=(a-a_u)\,Y$ $C_{ABnu}=[A^2_{nu}+B^2_{nu}]^{1/2}$
$b=p_{bn}=n_b p_b=-1{,}0[(0{,}000x+0{,}000+1{,}000z)/y]$ $B_{nu}=(b-b_u)\,Y$ $h_{ABnu}=\text{atan}[B_{nu}/A_{nu}]$

DE710−4N

CIE02 tristimulus values, chromatic values, and putities (n_a=2,5, n_b=−1,0).
Normalized *Ostwald (O)* tristimulus values (Y_w=100), odered by hue angle.

no. O C	λ_n	tristimulus values *X*	*Y*	*Z*	chromaticities *x*	*y*	*z*	*nu*-chromatic values A_{nu}	B_{nu}	C_{ABnu}	h_{ABnu}
00 631		69,99	41,82	18,71	0,536	0,320	0,143	68,2	15,6	70,0	372
01 702		73,30	41,33	39,75	0,474	0,267	0,257	66,9	−5,7	67,2	355
02 706		73,69	40,41	47,04	0,457	0,250	0,291	66,1	−13,8	67,5	348
03 711		74,05	39,70	53,95	0,441	0,236	0,321	65,1	−21,3	68,5	341
04 724		74,48	38,97	65,18	0,416	0,218	0,364	62,4	−33,1	70,6	332
05 727M		72,26	36,57	65,17	0,415	0,210	0,374	61,7	−35,1	71,0	330
06 740		69,08	33,80	72,53	0,393	0,192	0,413	56,6	−44,7	72,1	321
07 749		61,10	27,83	74,91	0,372	0,169	0,457	48,8	−52,0	71,3	313
08 396		31,24	12,19	76,69	0,260	0,101	0,638	11,9	−66,6	67,7	280
09 463		13,25	6,34	78,11	0,135	0,064	0,799	−16,3	−72,8	74,7	257
10 466		13,27	8,01	79,21	0,132	0,079	0,788	−19,5	−72,6	75,2	254
11 471		13,39	12,66	80,68	0,125	0,118	0,755	−27,5	−70,2	75,4	248
12 475B		14,00	19,21	81,44	0,122	0,167	0,710	−37,4	−65,6	75,5	240
13 479		15,61	27,50	81,85	0,124	0,220	0,655	−47,8	−59,2	76,1	231
14 481		18,42	36,66	82,05	0,134	0,267	0,598	−57,1	−51,9	77,2	222
15 483		20,35	41,45	82,11	0,141	0,288	0,570	−61,0	−48,0	77,7	218
16 484		22,64	46,29	82,14	0,149	0,306	0,543	−64,3	−44,0	77,9	214
17 485		25,29	51,06	82,16	0,159	0,322	0,518	−66,6	−40,1	77,8	211
18 486C		29,62	57,81	81,62	0,175	0,341	0,482	−68,5	−34,0	76,5	206
19 490		26,32	58,17	63,51	0,177	0,393	0,429	−68,2	−15,6	70,0	192
20 497		23,01	58,66	42,48	0,185	0,472	0,342	−66,9	5,7	67,1	175
21 501		22,62	59,57	35,18	0,192	0,507	0,299	−66,1	13,7	67,5	168
22 506		22,26	60,29	28,28	0,200	0,543	0,255	−65,0	21,2	68,4	161
23 519G		21,83	61,02	17,06	0,218	0,610	0,170	−62,3	33,1	70,6	152
24 522		24,04	63,42	17,06	0,230	0,606	0,163	−61,7	35,0	71,0	150
25 535		27,22	66,19	9,71	0,263	0,641	0,094	−56,5	44,7	72,1	141
26 544		35,20	72,16	7,33	0,306	0,629	0,063	−48,8	52,0	71,3	133
27 561		65,07	87,80	5,54	0,410	0,554	0,034	−11,8	66,6	67,7	100
28 568		83,05	93,65	4,13	0,459	0,517	0,022	16,3	72,8	74,6	77
29 569		83,03	91,98	3,02	0,466	0,516	0,016	19,5	72,6	75,2	74
30 571		82,92	87,33	1,55	0,482	0,508	0,009	27,5	70,2	75,4	68
31 573		82,30	80,76	0,80	0,502	0,492	0,004	37,4	65,6	75,5	60
32 577Y		80,69	72,49	0,38	0,525	0,472	0,002	47,8	59,2	76,1	51
33 581		77,87	63,33	0,18	0,550	0,447	0,001	57,1	51,8	77,2	42
34 583		75,96	58,54	0,13	0,564	0,434	0,000	61,1	48,0	77,7	38
35 585		73,67	53,70	0,09	0,577	0,421	0,000	64,3	44,0	77,9	34
36 587R		71,01	48,93	0,07	0,591	0,407	0,000	66,7	40,1	77,8	31
37 592		66,69	42,18	0,61	0,609	0,385	0,005	68,5	34,0	76,5	26
38 631		69,99	41,82	18,71	0,536	0,320	0,143	68,2	15,6	70,0	12
39 702		73,30	41,33	39,75	0,474	0,267	0,257	66,9	−5,7	67,2	−4
U=D50		**96,31**	**99,99**	**82,24**	**0,345**	**0,358**	**0,358**	**0,0**	**0,0**	**0,0**	**0**

$a=p_{anu}=n_a p_a=2{,}5[(1{,}000x-0{,}171+0{,}000z)/y]$ $A_{nu}=(a-a_u)\,Y$ $C_{ABnu}=[A^2_{nu}+B^2_{nu}]^{1/2}$
$b=p_{bnu}=n_b p_b=-1{,}0[(0{,}000x+0{,}000+1{,}000z)/y]$ $B_{nu}=(b-b_u)\,Y$ $h_{ABnu}=\text{atan}[B_{nu}/A_{nu}]$

DE710−7N

CIE02 tristimulus values, chromatic values, and putities (n_a=2,5, n_b=−1,0).
Normalized *Ostwald (O)* tristimulus values (Y_w=100), odered by hue angle.

no. O C	λ_n	*n*-purities *Y*	p_{an}	p_{bn}	p_{rn}	h_{abn}	*nu*-purities p_{anu}	p_{bnu}	p_{rnu}	h_{abnu}
00 631		41,82	2,84	−0,44	2,88	351	1,63	0,37	1,67	372
01 702		41,33	2,83	−0,96	2,99	341	1,62	−0,13	1,62	355
02 706		40,41	2,85	−1,16	3,08	337	1,63	−0,34	1,67	348
03 711		39,70	2,85	−1,35	3,16	334	1,64	−0,53	1,72	341
04 724		38,97	2,81	−1,67	3,27	329	1,60	−0,85	1,81	332
05 727M		36,57	2,90	−1,78	3,40	328	1,68	−0,95	1,94	330
06 740		33,80	2,89	−2,14	3,60	323	1,67	−1,32	2,13	321
07 749		27,83	2,97	−2,69	4,00	317	1,75	−1,86	2,56	313
08 396		12,19	2,19	−6,29	6,66	289	0,97	−5,46	5,55	280
09 463		6,34	−1,36	−12,32	12,39	263	−2,57	−11,49	11,78	257
10 466		8,01	−1,22	−9,88	9,96	262	−2,43	−9,06	9,38	254
11 471		12,66	−0,95	−6,37	6,44	261	−2,17	−5,55	5,96	248
12 475B		19,21	−0,72	−4,23	4,29	260	−1,94	−3,41	3,93	240
13 479		27,50	−0,52	−2,97	3,02	260	−1,74	−2,15	2,76	231
14 481		36,66	−0,34	−2,23	2,26	261	−1,55	−1,41	2,10	222
15 483		41,45	−0,25	−1,98	1,99	262	−1,47	−1,15	1,87	218
16 484		46,29	−0,17	−1,77	1,78	264	−1,38	−0,95	1,68	214
17 485		51,06	−0,08	−1,60	1,61	266	−1,30	−0,78	1,52	211
18 486C		57,81	0,03	−1,41	1,41	271	−1,18	−0,58	1,32	206
19 490		58,17	0,04	−1,09	1,09	272	−1,17	−0,26	1,20	192
20 497		58,66	0,07	−0,72	0,72	275	−1,14	0,09	1,14	175
21 501		59,57	0,10	−0,59	0,60	280	−1,10	0,23	1,13	168
22 506		60,29	0,13	−0,46	0,48	286	−1,07	0,35	1,13	161
23 519G		61,02	0,19	−0,27	0,34	304	−1,02	0,54	1,15	152
24 522		63,42	0,24	−0,26	0,36	312	−0,97	0,55	1,11	150
25 535		66,19	0,36	−0,14	0,39	337	−0,85	0,67	1,08	141
26 544		72,16	0,54	−0,10	0,54	349	−0,67	0,72	0,98	133
27 561		87,80	1,08	−0,06	1,08	356	−0,13	0,75	0,77	100
28 568		93,65	1,39	−0,04	1,39	358	0,17	0,77	0,79	77
29 569		91,98	1,42	−0,03	1,42	358	0,21	0,78	0,81	74
30 571		87,33	1,53	−0,01	1,53	359	0,31	0,80	0,86	68
31 573		80,76	1,68	−0,00	1,68	359	0,46	0,81	0,93	60
32 577Y		72,49	1,87	−0,00	1,87	359	0,66	0,81	1,05	51
33 581		63,33	2,11	−0,00	2,11	359	0,90	0,81	1,21	42
34 583		58,54	2,26	−0,00	2,26	359	1,04	0,82	1,32	38
35 585		53,70	2,41	−0,00	2,41	359	1,19	0,82	1,45	34
36 587R		48,93	2,58	−0,00	2,58	359	1,36	0,82	1,59	31
37 592		42,18	2,84	−0,01	2,84	0	1,62	0,80	1,81	26
38 631		41,82	2,84	−0,44	2,88	−8	1,63	0,37	1,67	12
39 702		41,33	2,83	−0,96	2,99	−18	1,62	−0,13	1,62	−4
U=D50		**99,99**	**1,216**	**−0,822**	**1,468**	**325**	**0,0**	**0,0**	**0,0**	**0**

$a=p_{an}=n_a p_a=2{,}5[(1{,}000x-0{,}171+0{,}000z)/y]$ $A_{nu}=(a-a_u)\,Y$ $C_{ABnu}=[A^2_{nu}+B^2_{nu}]^{1/2}$
$b=p_{bn}=n_b p_b=-1{,}0[(0{,}000x+0{,}000+1{,}000z)/y]$ $B_{nu}=(b-b_u)\,Y$ $h_{ABnu}=\text{atan}[B_{nu}/A_{nu}]$

DE710−8N

DE710−7R_pchartl=1_xcolorl=0(CIE02)

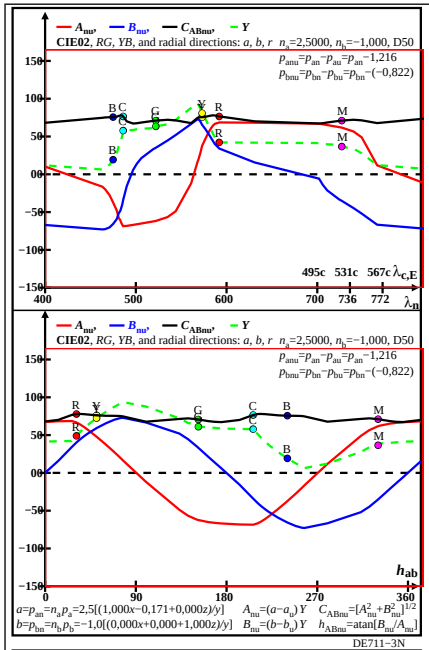

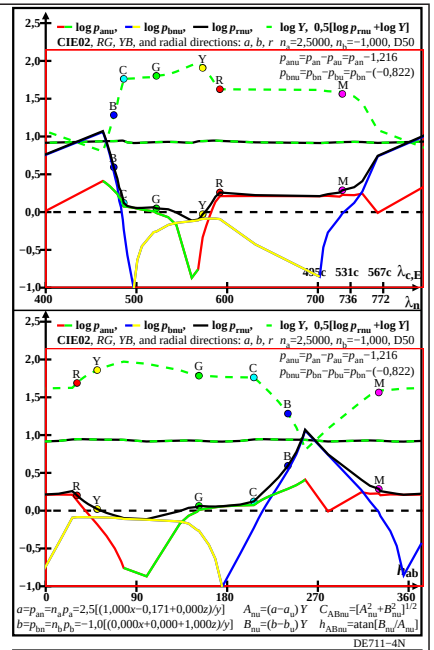

DE711−3N DE711−4N

X_w=96,31, Y_w=99,99, Z_w=82,24
x_w=0,3457 y_w=0,3589 z_w=0,2952
$a'_{1,nu}=(a_1-a_{1,u})\;Y_{18}\,[Y/Y_{18}]^{1/3}$
$b'_{1,nu}=(b_1-b_{1,u})\;Y_{18}\,[Y/Y_{18}]^{1/3}$
$a_1=n_a[(1{,}000x-0{,}171+0{,}000z)/y]$
$b_1=n_b[(0{,}000x+0{,}000+1{,}000z)/y]$
n_a = 2,50, n_b = −1,00
n = D50

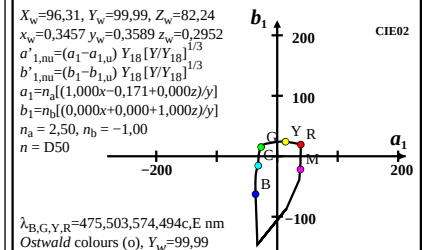

$\lambda_{B,G,Y,R}$=475,503,574,494c,E nm
Ostwald colours (o), Y_w=99,99
max (m) chromatic value, D50
purity (q_1, b_1)Y_{18} $(Y/Y_{18}^{1/3}$

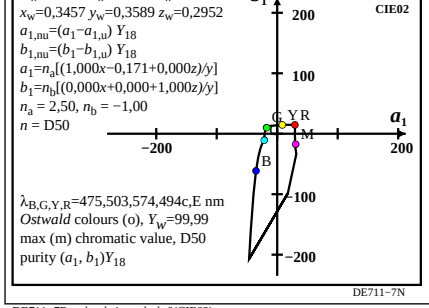

$\lambda_{B,G,Y,R}$=475,503,574,494c,E nm
Ostwald colours (o), Y_w=99,99
max (m) chromatic value, D50
purity (a_1, b_1)Y_{18}

DE711−7N

X_w=96,31, Y_w=99,99, Z_w=82,24
x_w=0,3457 y_w=0,3589 z_w=0,2952
$A_1=(a_1-a_{1,u})\;Y/[Y/Y_{18}]^{1/3}$
$B_1=(b_1-b_{1,u})\;Y/[Y/Y_{18}]^{1/3}$
$a_1=n_a[(1{,}000x-0{,}171+0{,}000z)/y]$
$b_1=n_b[(0{,}000x+0{,}000+1{,}000z)/y]$
n_a = 2,50, n_b = −1,00
n = D50

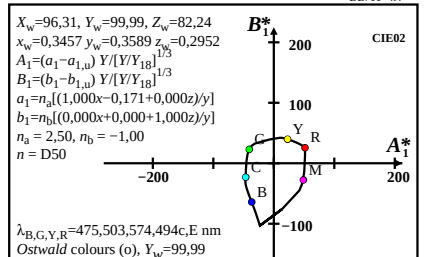

$\lambda_{B,G,Y,R}$=475,503,574,494c,E nm
Ostwald colours (o), Y_w=99,99
max (m) chromatic value, D50
chroma (A^*_1, B^*_1)

X_w=96,31, Y_w=99,99, Z_w=82,24
x_w=0,3457 y_w=0,3589 z_w=0,2952
$A_1=(a_1-a_{1,u})\;Y$
$B_1=(b_1-b_{1,u})\;Y$
$a_1=n_a[(1{,}000x-0{,}171+0{,}000z)/y]$
$b_1=n_b[(0{,}000x+0{,}000+1{,}000z)/y]$
n_a = 2,50, n_b = −1,00
n = D50

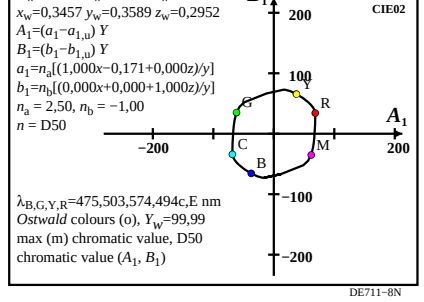

$\lambda_{B,G,Y,R}$=475,503,574,494c,E nm
Ostwald colours (o), Y_w=99,99
max (m) chromatic value, D50
chromatic value (A_1, B_1)

DE711−8N

DE711−7R_pchartl=1_xcolorl=0(CIE02)

TUB-test chart DE71; 4 CIE and 2 R17M observers, colorimetric calculations of chromatic values
purity definition: a=2,5[(x−0,171)/y], b=−1,0[z/y]

CIE10 tristimulus values, chromatic values, and putities (n_a=2,5, n_b=−1,0).
Normalized *Ostwald (O)* tristimulus values (Y_w=100), ordered by wavelength.

no. O C	λ_n	*tristimulus values and chromaticities* X	Y	Z	x	y	z	*nu*-chromatic values A_{nu}	B_{nu}	C_{ABnu}	h_{ABnu}
00	376	55,24	26,06	71,08	0,362	0,171	0,466	40,9	−49,9	64,5	309
01	458	13,22	7,40	75,87	0,136	0,076	0,786	−17,2	−69,8	71,9	256
02	460	13,26	8,89	77,33	0,133	0,089	0,777	−20,3	−70,1	73,0	253
03	462	13,28	10,68	78,42	0,129	0,104	0,765	−23,6	−69,7	73,6	251
04	462B	13,28	10,68	78,42	0,129	0,104	0,765	−23,6	−69,7	73,6	251
05	468	13,66	17,92	80,19	0,122	0,160	0,717	−35,6	−65,6	74,7	241
06	471	14,70	24,41	80,73	0,122	0,203	0,673	−44,4	−60,9	75,4	233
07	473	15,60	28,17	80,89	0,125	0,225	0,648	−48,8	−58,0	75,8	229
08	475	18,32	36,37	81,08	0,134	0,267	0,597	−56,8	−51,5	76,7	222
09	477	22,35	45,10	81,16	0,150	0,303	0,546	−63,0	−44,5	77,1	215
10	477C	22,35	45,10	81,16	0,150	0,303	0,546	−63,0	−44,5	77,1	215
11	479	27,82	53,94	81,17	0,170	0,331	0,498	−66,3	−37,3	76,1	209
12	480	30,64	58,21	79,19	0,182	0,346	0,471	−66,7	−31,9	73,9	205
13	484	25,67	56,42	59,80	0,180	0,397	0,421	−65,7	−14,0	67,2	192
14	492	22,50	56,65	38,03	0,192	0,483	0,324	−63,4	7,9	63,8	172
15	503	21,56	57,40	24,28	0,208	0,555	0,235	−60,7	22,2	64,6	159
16	512G	22,19	58,45	18,53	0,223	0,589	0,186	−58,6	28,9	65,4	153
17	521	24,28	60,61	13,79	0,246	0,614	0,139	−55,9	35,3	66,1	147
18	531	29,00	64,47	10,07	0,280	0,622	0,097	−50,9	42,2	66,1	140
19	541	41,39	73,93	10,07	0,330	0,589	0,080	−40,9	49,9	64,5	129
20	563	83,41	92,59	5,28	0,460	0,510	0,029	17,3	69,8	71,9	76
21	564	83,37	91,09	3,82	0,467	0,510	0,021	20,3	70,0	73,0	73
22	565	83,35	89,31	2,74	0,475	0,509	0,015	23,7	69,7	73,6	71
23	565Y	83,35	89,31	2,74	0,475	0,509	0,015	23,7	69,7	73,6	71
24	568	82,96	82,07	0,96	0,499	0,494	0,005	35,6	65,6	74,7	61
25	571	81,93	75,58	0,44	0,518	0,478	0,002	44,5	60,8	75,4	53
26	573	81,03	71,82	0,27	0,529	0,469	0,001	48,9	58,0	75,8	49
27	577	78,31	63,62	0,08	0,551	0,447	0,000	56,9	51,5	76,8	42
28	581	74,28	54,89	0,01	0,575	0,424	0,000	63,0	44,5	77,2	35
29	581R	74,28	54,89	0,01	0,575	0,424	0,000	63,0	44,5	77,2	35
30	587	68,81	46,05	0,00	0,599	0,400	0,000	66,3	37,3	76,1	29
31	589	67,60	44,04	0,93	0,600	0,391	0,008	66,8	34,8	75,3	27
32	692	70,96	43,57	21,37	0,522	0,320	0,157	65,8	13,9	67,2	11
33	697	74,12	43,34	43,14	0,461	0,269	0,268	63,4	−7,9	63,9	352
34	708	75,07	42,59	56,88	0,430	0,244	0,325	60,7	−22,3	64,7	339
35	717M	74,44	41,54	62,63	0,416	0,232	0,350	58,7	−28,9	65,4	333
36	726	72,35	39,38	67,37	0,403	0,219	0,376	55,9	−35,4	66,2	327
37	736	67,62	35,52	71,08	0,388	0,203	0,408	50,9	−42,2	66,2	320
38	746	55,24	26,06	71,08	0,362	0,171	0,466	40,9	−49,9	64,5	309
39	823	13,22	7,40	75,87	0,136	0,076	0,786	−17,2	−69,8	71,9	256
U=D50		**96,63**	**100,00**	**81,17**	**0,347**	**0,359**	**0,359**	**0,0**	**0,0**	**0,0**	**0**

$a=p_{anu}=n_a p_a$=2,5[(1,000x−0,171+0,000z)/y] $A_{nu}=(a-a_u)\,Y$ $C_{ABnu}=[A^2_{nu}+B^2_{nu}]^{1/2}$
$b=p_{bnu}=n_b p_b$=−1,0[(0,000x+0,000+1,000z)/y] $B_{nu}=(b-b_u)\,Y$ h_{ABnu}=atan[B_{nu}/A_{nu}]

DE710−3N

CIE10 tristimulus values, chromatic values, and putities (n_a=2,5, n_b=−1,0).
Normalized *Ostwald (O)* tristimulus values (Y_w=100), ordered by hue angle.

no. O C	λ_n	*tristimulus values and chromaticities* X	Y	Z	x	y	z	*nu*-chromatic values A_{nu}	B_{nu}	C_{ABnu}	h_{ABnu}
00	692	70,96	43,57	21,37	0,522	0,320	0,157	65,8	13,9	67,2	371
01	697	74,12	43,34	43,14	0,461	0,269	0,268	63,4	−7,9	63,9	352
02	708	75,07	42,59	56,88	0,430	0,244	0,325	60,7	−22,3	64,7	339
03	717	74,44	41,54	62,63	0,416	0,232	0,350	58,7	−28,9	65,4	333
04	726	72,35	39,38	67,37	0,403	0,219	0,376	55,9	−35,4	66,2	327
05	736M	67,62	35,52	71,08	0,388	0,203	0,408	50,9	−42,2	66,2	320
06	376	55,24	26,06	71,08	0,362	0,171	0,466	40,9	−49,9	64,5	309
07	458	13,22	7,40	75,87	0,136	0,076	0,786	−17,2	−69,8	71,9	256
08	460	13,26	8,89	77,33	0,133	0,089	0,777	−20,3	−70,1	73,0	253
09	462	13,28	10,68	78,42	0,129	0,104	0,765	−23,6	−69,7	73,6	251
10	462	13,28	10,68	78,42	0,129	0,104	0,765	−23,6	−69,7	73,6	251
11	468	13,66	17,92	80,19	0,122	0,160	0,717	−35,6	−65,6	74,7	241
12	471B	14,70	24,41	80,73	0,122	0,203	0,673	−44,4	−60,9	75,4	233
13	473	15,60	28,17	80,89	0,125	0,225	0,648	−48,8	−58,0	75,8	229
14	475	18,32	36,37	81,08	0,134	0,267	0,597	−56,8	−51,5	76,7	222
15	477	22,35	45,10	81,16	0,150	0,303	0,546	−63,0	−44,5	77,1	215
16	477	22,35	45,10	81,16	0,150	0,303	0,546	−63,0	−44,5	77,1	215
17	479	27,82	53,94	81,17	0,170	0,331	0,498	−66,3	−37,3	76,1	209
18	480C	30,64	58,21	79,19	0,182	0,346	0,471	−66,7	−31,9	73,9	205
19	484	25,67	56,42	59,80	0,180	0,397	0,421	−65,7	−14,0	67,2	192
20	492	22,50	56,65	38,03	0,192	0,483	0,324	−63,4	7,9	63,8	172
21	503	21,56	57,40	24,28	0,208	0,555	0,235	−60,7	22,2	64,6	159
22	512	22,19	58,45	18,53	0,223	0,589	0,186	−58,6	28,9	65,4	153
23	521G	24,28	60,61	13,79	0,246	0,614	0,139	−55,9	35,3	66,1	147
24	531	29,00	64,47	10,07	0,280	0,622	0,097	−50,9	42,2	66,1	140
25	541	41,39	73,93	10,07	0,330	0,589	0,080	−40,9	49,9	64,5	129
26	563	83,41	92,59	5,28	0,460	0,510	0,029	17,3	69,8	71,9	76
27	564	83,37	91,09	3,82	0,467	0,510	0,021	20,3	70,0	73,0	73
28	565	83,35	89,31	2,74	0,475	0,509	0,015	23,7	69,7	73,6	71
29	565	83,35	89,31	2,74	0,475	0,509	0,015	23,7	69,7	73,6	71
30	568	82,96	82,07	0,96	0,499	0,494	0,005	35,6	65,6	74,7	61
31	571	81,93	75,58	0,44	0,518	0,478	0,002	44,5	60,8	75,4	53
32	573Y	81,03	71,82	0,27	0,529	0,469	0,001	48,9	58,0	75,8	49
33	577	78,31	63,62	0,08	0,551	0,447	0,000	56,9	51,5	76,8	42
34	581	74,28	54,89	0,01	0,575	0,424	0,000	63,0	44,5	77,2	35
35	581	74,28	54,89	0,01	0,575	0,424	0,000	63,0	44,5	77,2	35
36	587R	68,81	46,05	0,00	0,599	0,400	0,000	66,3	37,3	76,1	29
37	589	67,60	44,04	0,93	0,600	0,391	0,008	66,8	34,8	75,3	27
38	692	70,96	43,57	21,37	0,522	0,320	0,157	65,8	13,9	67,2	11
39	697	74,12	43,34	43,14	0,461	0,269	0,268	63,4	−7,9	63,9	−7
U=D50		**96,63**	**100,00**	**81,17**	**0,347**	**0,359**	**0,359**	**0,0**	**0,0**	**0,0**	**0**

$a=p_{anu}=n_a p_a$=2,5[(1,000x−0,171+0,000z)/y] $A_{nu}=(a-a_u)\,Y$ $C_{ABnu}=[A^2_{nu}+B^2_{nu}]^{1/2}$
$b=p_{bnu}=n_b p_b$=−1,0[(0,000x+0,000+1,000z)/y] $B_{nu}=(b-b_u)\,Y$ h_{ABnu}=atan[B_{nu}/A_{nu}]

DE710−7N

DE710−7R_pchartl=1_xcolorl=1(CIE10)

CIE10 tristimulus values, chromatic values, and putities (n_a=2,5, n_b=−1,0).
Normalized *Ostwald (O)* tristimulus values (Y_w=100), ordered by wavelength.

no. O C	λ_n	*n*-purities Y	p_{an}	p_{bn}	p_{rn}	h_{abn}	*nu*-purities p_{anu}	p_{bnu}	p_{rnu}	h_{abnu}
00	376	26,06	2,79	−2,72	3,90	315	1,57	−1,91	2,47	309
01	458	7,40	−1,10	−10,25	10,31	263	−2,33	−9,44	9,72	256
02	460	8,89	−1,05	−8,68	8,75	263	−2,28	−7,87	8,20	253
03	462	10,68	−0,98	−7,34	7,40	262	−2,21	−6,53	6,89	251
04	462B	10,68	−0,98	−7,34	7,40	262	−2,21	−6,53	6,89	251
05	468	17,92	−0,76	−4,47	4,53	260	−1,98	−3,66	4,16	241
06	471	24,41	−0,59	−3,30	3,36	259	−1,82	−2,49	3,08	233
07	473	28,17	−0,50	−2,87	2,91	259	−1,73	−2,06	2,69	229
08	475	36,37	−0,33	−2,22	2,25	261	−1,56	−1,41	2,11	222
09	477	45,10	−0,16	−1,79	1,80	264	−1,39	−0,98	1,71	215
10	477C	45,10	−0,16	−1,79	1,80	264	−1,39	−0,98	1,71	215
11	479	53,94	−0,00	−1,50	1,50	269	−1,22	−0,69	1,41	209
12	480	58,21	0,08	−1,36	1,36	273	−1,14	−0,54	1,27	205
13	484	56,42	0,06	−1,05	1,06	273	−1,16	−0,24	1,19	192
14	492	56,65	0,10	−0,67	0,68	279	−1,11	0,14	1,12	172
15	503	57,40	0,17	−0,42	0,45	291	−1,05	0,38	1,12	159
16	512G	58,45	0,22	−0,31	0,38	305	−1,00	0,49	1,11	153
17	521	60,61	0,30	−0,22	0,38	323	−0,92	0,58	1,09	147
18	531	64,47	0,43	−0,15	0,46	340	−0,78	0,65	1,02	140
19	541	73,93	0,67	−0,13	0,68	348	−0,55	0,67	0,87	129
20	563	92,59	1,41	−0,05	1,41	357	0,18	0,75	0,77	76
21	564	91,09	1,45	−0,04	1,45	358	0,22	0,76	0,80	73
22	565	89,31	1,49	−0,03	1,49	358	0,26	0,78	0,82	71
23	565Y	89,31	1,49	−0,03	1,49	358	0,26	0,78	0,82	71
24	568	82,07	1,66	−0,01	1,66	359	0,43	0,79	0,91	61
25	571	75,58	1,81	−0,00	1,81	359	0,58	0,80	0,99	53
26	573	71,82	1,90	−0,00	1,90	359	0,68	0,80	1,05	49
27	577	63,62	2,12	−0,00	2,12	359	0,89	0,81	1,20	42
28	581	54,89	2,37	−0,00	2,37	359	1,14	0,81	1,40	35
29	581R	54,89	2,37	−0,00	2,37	359	1,14	0,81	1,40	35
30	587	46,05	2,66	0,00	2,66	0	1,44	0,81	1,65	29
31	589	44,04	2,74	−0,02	2,74	359	1,51	0,79	1,72	27
32	692	43,57	2,73	−0,49	2,78	349	1,51	0,32	1,54	11
33	697	43,34	2,69	−0,99	2,86	339	1,46	−0,18	1,47	352
34	708	42,59	2,65	−1,33	2,97	333	1,42	−0,52	1,52	339
35	717M	41,54	2,64	−1,50	3,04	330	1,41	−0,69	1,57	333
36	726	39,38	2,64	−1,71	3,15	327	1,42	−0,89	1,68	327
37	736M	35,52	2,66	−2,00	3,33	323	1,43	−1,18	1,86	320
38	376	26,06	2,79	−2,72	3,90	315	1,57	−1,91	2,47	309
39	458	7,40	−1,10	−10,25	10,31	263	−2,33	−9,44	9,72	256
40	460	8,89	−1,05	−8,68	8,75	263	−2,28	−7,87	8,20	253
41	462	10,68	−0,98	−7,34	7,40	262	−2,21	−6,53	6,89	251
42	462	10,68	−0,98	−7,34	7,40	262	−2,21	−6,53	6,89	251
43	468	17,92	−0,76	−4,47	4,53	260	−1,98	−3,66	4,16	241
44	471B	24,41	−0,59	−3,30	3,36	259	−1,82	−2,49	3,08	233
45	473	28,17	−0,50	−2,87	2,91	259	−1,73	−2,06	2,69	229
46	475	36,37	−0,33	−2,22	2,25	261	−1,56	−1,41	2,11	222
47	477	45,10	−0,16	−1,79	1,80	264	−1,39	−0,98	1,71	215
48	477	45,10	−0,16	−1,79	1,80	264	−1,39	−0,98	1,71	215
49	479	53,94	−0,00	−1,50	1,50	269	−1,22	−0,69	1,41	209
50	480C	58,21	0,08	−1,36	1,36	273	−1,14	−0,54	1,27	205
51	484	56,42	0,06	−1,05	1,06	273	−1,16	−0,24	1,19	192
52	492	56,65	0,10	−0,67	0,68	279	−1,11	0,14	1,12	172
53	503	57,40	0,17	−0,42	0,45	291	−1,05	0,38	1,12	159
54	512	58,45	0,22	−0,31	0,38	305	−1,00	0,49	1,11	153
55	521G	60,61	0,30	−0,22	0,38	323	−0,92	0,58	1,09	147
56	531	64,47	0,43	−0,15	0,46	340	−0,78	0,65	1,02	140
57	541	73,93	0,67	−0,13	0,68	348	−0,55	0,67	0,87	129
58	563	92,59	1,41	−0,05	1,41	357	0,18	0,75	0,77	76
59	564	91,09	1,45	−0,04	1,45	358	0,22	0,76	0,80	73
60	565	89,31	1,49	−0,03	1,49	358	0,26	0,78	0,82	71
61	565	89,31	1,49	−0,03	1,49	358	0,26	0,78	0,82	71
62	568	82,07	1,66	−0,01	1,66	359	0,43	0,79	0,91	61
63	571	75,58	1,81	−0,00	1,81	359	0,58	0,80	0,99	53
64	573Y	71,82	1,90	−0,00	1,90	359	0,68	0,80	1,05	49
65	577	63,62	2,12	−0,00	2,12	359	0,89	0,81	1,20	42
66	581	54,89	2,37	−0,00	2,37	359	1,14	0,81	1,40	35
67	581	54,89	2,37	−0,00	2,37	359	1,14	0,81	1,40	35
68	587R	46,05	2,66	0,00	2,66	0	1,44	0,81	1,65	29
69	589	44,04	2,74	−0,02	2,74	0	1,51	0,79	1,71	27
70	692	43,57	2,73	−0,49	2,78	−10	1,51	0,32	1,54	11
71	697	43,34	2,69	−0,99	2,86	−20	1,46	−0,18	1,47	−7
U=D50		**100,00**	**1,227**	**−0,811**	**1,471**	**326**	**0,0**	**0,0**	**0,0**	**0**

$a=p_{anu}=n_a p_a$=2,5[(1,000x−0,171+0,000z)/y] $A_{nu}=(a-a_u)\,Y$ $C_{ABnu}=[A^2_{nu}+B^2_{nu}]^{1/2}$
$b=p_{bnu}=n_b p_b$=−1,0[(0,000x+0,000+1,000z)/y] $B_{nu}=(b-b_u)\,Y$ h_{ABnu}=atan[B_{nu}/A_{nu}]

DE710−4N

CIE10 tristimulus values, chromatic values, and putities (n_a=2,5, n_b=−1,0).
Normalized *Ostwald (O)* tristimulus values (Y_w=100), ordered by hue angle.

no. O C	λ_n	*n*-purities Y	p_{an}	p_{bn}	p_{rn}	h_{abn}	*nu*-purities p_{anu}	p_{bnu}	p_{rnu}	h_{abnu}
00	692	43,57	2,73	−0,49	2,78	349	1,51	0,32	1,54	371
01	697	43,34	2,69	−0,99	2,86	339	1,46	−0,18	1,47	352
02	708	42,59	2,65	−1,33	2,97	333	1,42	−0,52	1,52	339
03	717	41,54	2,64	−1,50	3,04	330	1,41	−0,69	1,57	333
04	726	39,38	2,64	−1,71	3,15	327	1,42	−0,89	1,68	327
05	736M	35,52	2,66	−2,00	3,33	323	1,43	−1,18	1,86	320
06	376	26,06	2,79	−2,72	3,90	315	1,57	−1,91	2,47	309
07	458	7,40	−1,10	−10,25	10,31	263	−2,33	−9,44	9,72	256
08	460	8,89	−1,05	−8,68	8,75	263	−2,28	−7,87	8,20	253
09	462	10,68	−0,98	−7,34	7,40	262	−2,21	−6,53	6,89	251
10	462	10,68	−0,98	−7,34	7,40	262	−2,21	−6,53	6,89	251
11	468	17,92	−0,76	−4,47	4,53	260	−1,98	−3,66	4,16	241
12	471B	24,41	−0,59	−3,30	3,36	259	−1,82	−2,49	3,08	233
13	473	28,17	−0,50	−2,87	2,91	259	−1,73	−2,06	2,69	229
14	475	36,37	−0,33	−2,22	2,25	261	−1,56	−1,41	2,11	222
15	477	45,10	−0,16	−1,79	1,80	264	−1,39	−0,98	1,71	215
16	477	45,10	−0,16	−1,79	1,80	264	−1,39	−0,98	1,71	215
17	479	53,94	−0,00	−1,50	1,50	269	−1,22	−0,69	1,41	209
18	480C	58,21	0,08	−1,36	1,36	273	−1,14	−0,54	1,27	205
19	484	56,42	0,06	−1,05	1,06	273	−1,16	−0,24	1,19	192
20	492	56,65	0,10	−0,67	0,68	279	−1,11	0,14	1,12	172
21	503	57,40	0,17	−0,42	0,45	291	−1,05	0,38	1,12	159
22	512	58,45	0,22	−0,31	0,38	305	−1,00	0,49	1,11	153
23	521G	60,61	0,30	−0,22	0,38	323	−0,92	0,58	1,09	147
24	531	64,47	0,43	−0,15	0,46	340	−0,78	0,65	1,02	140
25	541	73,93	0,67	−0,13	0,68	348	−0,55	0,67	0,87	129
26	563	92,59	1,41	−0,05	1,41	357	0,18	0,75	0,77	76
27	564	91,09	1,45	−0,04	1,45	358	0,22	0,76	0,80	73
28	565	89,31	1,49	−0,03	1,49	358	0,26	0,78	0,82	71
29	565	89,31	1,49	−0,03	1,49	358	0,26	0,78	0,82	71
30	568	82,07	1,66	−0,01	1,66	359	0,43	0,79	0,91	61
31	571	75,58	1,81	−0,00	1,81	359	0,58	0,80	0,99	53
32	573Y	71,82	1,90	−0,00	1,90	359	0,68	0,80	1,05	49
33	577	63,62	2,12	−0,00	2,12	359	0,89	0,81	1,20	42
34	581	54,89	2,37	−0,00	2,37	359	1,14	0,81	1,40	35
35	581	54,89	2,37	−0,00	2,37	359	1,14	0,81	1,40	35
36	587R	46,05	2,66	0,00	2,66	0	1,44	0,81	1,65	29
37	589	44,04	2,74	−0,02	2,74	0	1,51	0,79	1,71	27
38	692	43,57	2,73	−0,49	2,78	−10	1,51	0,32	1,54	11
39	697	43,34	2,69	−0,99	2,86	−20	1,46	−0,18	1,47	−7
U=D50		**100,00**	**1,227**	**−0,811**	**1,471**	**326**	**0,0**	**0,0**	**0,0**	**0**

$a=p_{anu}=n_a p_a$=2,5[(1,000x−0,171+0,000z)/y] $A_{nu}=(a-a_u)\,Y$ $C_{ABnu}=[A^2_{nu}+B^2_{nu}]^{1/2}$
$b=p_{bnu}=n_b p_b$=−1,0[(0,000x+0,000+1,000z)/y] $B_{nu}=(b-b_u)\,Y$ h_{ABnu}=atan[B_{nu}/A_{nu}]

DE710−8N

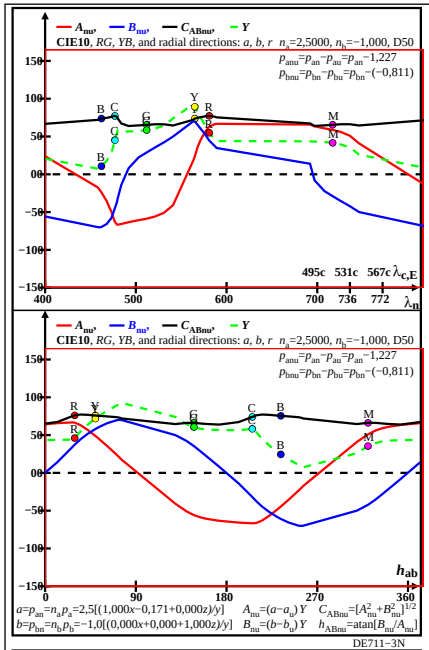

DE711−3N

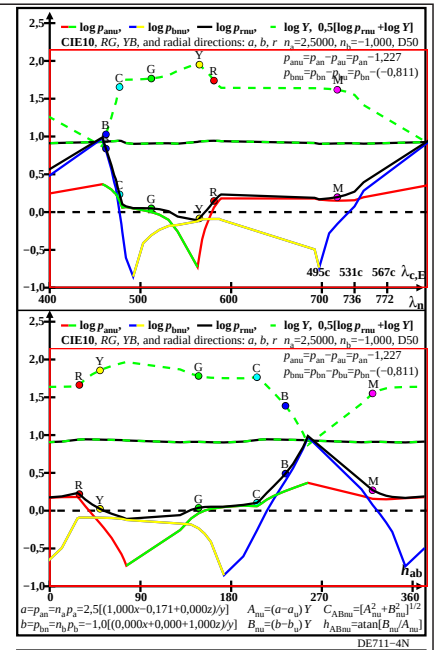

DE711−4N

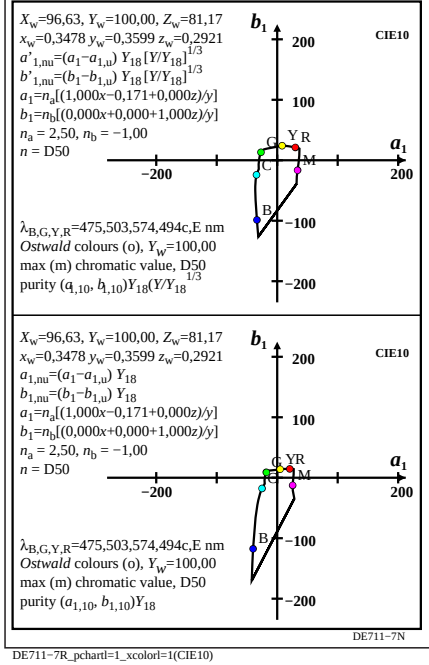

DE711−7N

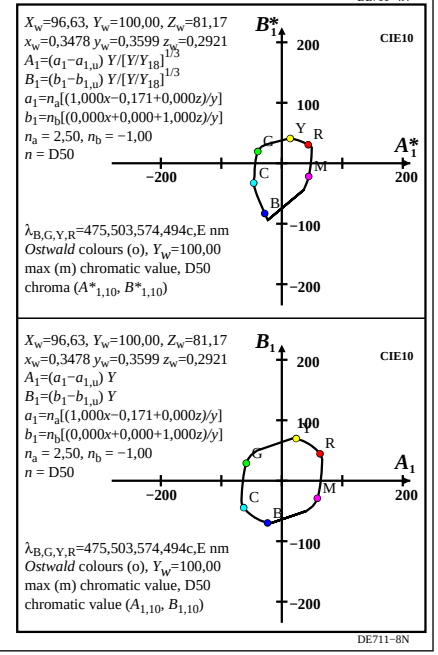

DE711−8N

DE711−7R_pchartl=1_xcolorl=1(CIE10)

CIEF02 tristimulus values, chromatic values, and putities (n_a=2,5, n_b=−1,0).
Normalized *Ostwald (O)* tristimulus values (Y_w=100), odered by wavelength.

no. O C	tristimulus values and chromaticities						*nu*-chromatic values			
λ_n	*X*	*Y*	*Z*	*x*	*y*	*z*	A_{nu}	B_{nu}	C_{ABnu}	h_{ABnu}
00 386	51,50	23,94	74,68	0,343	0,159	0,497	35,3	−55,0	65,3	302
01 460	12,38	6,54	76,19	0,130	0,068	0,801	−17,6	−70,8	72,9	255
02 465	12,41	9,58	78,25	0,123	0,095	0,780	−23,5	−70,3	74,1	251
03 467	12,45	11,64	78,87	0,120	0,113	0,766	−27,0	−69,3	74,4	248
04 473B	13,31	20,43	79,83	0,117	0,179	0,702	−40,1	−63,0	74,7	237
05 475	14,02	24,19	79,97	0,118	0,204	0,676	−44,9	−60,0	75,0	233
06 479	17,82	36,91	80,16	0,132	0,273	0,594	−58,1	−49,8	76,5	220
07 479	17,82	36,91	80,16	0,132	0,273	0,594	−58,1	−49,8	76,5	220
08 481	21,98	46,03	80,19	0,148	0,310	0,541	−64,5	−42,3	77,2	213
09 481	21,98	46,03	80,19	0,148	0,310	0,541	−64,5	−42,3	77,2	213
10 483C	27,52	55,03	80,21	0,169	0,338	0,492	−67,9	−34,9	76,3	207
11 484	28,85	57,21	79,07	0,174	0,346	0,478	−68,2	−32,0	75,4	205
12 489	25,36	57,41	57,70	0,180	0,408	0,410	−66,6	−10,5	67,5	188
13 497	22,33	57,50	36,81	0,191	0,492	0,315	−64,1	10,4	65,0	170
14 505	21,31	58,03	24,30	0,205	0,559	0,234	−61,8	23,3	66,0	159
15 512	21,41	58,69	18,79	0,216	0,593	0,190	−60,3	29,4	67,1	153
16 521G	22,42	59,91	14,10	0,232	0,621	0,146	−58,2	35,1	68,0	148
17 524	25,32	62,97	14,10	0,247	0,615	0,137	−57,2	37,6	68,5	146
18 539	30,29	66,55	7,57	0,290	0,637	0,072	−50,0	47,1	68,7	136
19 551	44,95	76,05	5,53	0,355	0,601	0,043	−34,4	56,9	66,6	121
20 568	84,08	93,45	4,02	0,463	0,514	0,022	18,5	72,7	75,1	75
21 568	84,08	93,45	4,02	0,463	0,514	0,022	18,5	72,7	75,1	75
22 569	84,05	90,41	1,96	0,476	0,512	0,011	24,4	72,3	76,3	71
23 570Y	84,00	88,35	1,33	0,483	0,508	0,007	27,9	71,2	76,5	68
24 573	83,15	79,56	0,38	0,509	0,487	0,002	41,1	65,0	76,9	57
25 575	82,44	75,80	0,24	0,520	0,478	0,001	45,8	62,0	77,1	53
26 580	78,64	63,07	0,05	0,554	0,444	0,000	59,0	51,7	78,5	41
27 580	78,64	63,07	0,05	0,554	0,444	0,000	59,0	51,7	78,5	41
28 585	74,48	53,96	0,02	0,579	0,420	0,000	65,4	44,3	79,0	34
29 590R	68,94	44,96	0,00	0,605	0,394	0,000	68,8	36,9	78,1	28
30 592	67,61	42,78	1,14	0,606	0,383	0,010	69,1	34,0	77,0	26
31 694	71,10	42,58	22,52	0,522	0,312	0,165	67,5	12,4	68,7	10
32 702	74,12	42,49	43,40	0,463	0,265	0,271	65,0	−8,4	65,6	352
33 710	75,15	41,96	55,91	0,434	0,242	0,323	62,7	−21,4	66,2	341
34 717	75,05	41,30	61,43	0,422	0,232	0,345	61,2	−27,4	67,1	335
35 726M	74,04	40,08	66,11	0,410	0,222	0,366	59,1	−33,1	67,8	330
36 729	71,14	37,02	66,11	0,408	0,212	0,379	58,1	−35,6	68,2	328
37 744	66,16	33,43	72,64	0,384	0,194	0,421	50,9	−45,1	68,0	318
38 756	51,50	23,94	74,68	0,343	0,159	0,497	35,3	−55,0	65,3	302
39 825	12,38	6,54	76,19	0,130	0,068	0,801	−17,6	−70,8	72,9	255
U=D50	**96,46**	**100,00**	**82,22**	**0,346**	**0,358**	**0,358**	**0,0**	**0,0**	**0,0**	**0**

$a=p_{anu}=n_a p_a=2{,}5[(1{,}000x-0{,}171+0{,}000z)/y]$ $A_{nu}=(a-a_u)\,Y$ $C_{ABnu}=[A^2_{nu}+B^2_{nu}]^{1/2}$
$b=p_{bnu}=n_b p_b=-1{,}0[(0{,}000x+0{,}000+1{,}000z)/y]$ $B_{nu}=(b-b_u)\,Y$ $h_{ABnu}=\mathrm{atan}[B_{nu}/A_{nu}]$

DE710−3N

CIEF02 tristimulus values, chromatic values, and putities (n_a=2,5, n_b=−1,0).
Normalized *Ostwald (O)* tristimulus values (Y_w=100), odered by wavelength.

no. O C	*n*-purities					*nu*-purities			
λ_n	*Y*	p_{an}	p_{bn}	p_{rn}	h_{abn}	p_{anu}	p_{bnu}	p_{rnu}	h_{abnu}
00 386	23,94	2,69	−3,11	4,12	310	1,47	−2,29	2,73	302
01 460	6,54	−1,48	−11,64	11,74	262	−2,70	−10,82	11,16	255
02 465	9,58	−1,23	−8,16	8,26	261	−2,45	−7,34	7,74	251
03 467	11,64	−1,10	−6,77	6,86	260	−2,32	−5,95	6,39	248
04 473B	20,43	−0,74	−3,90	3,97	259	−1,96	−3,08	3,65	237
05 475	24,19	−0,63	−3,30	3,36	259	−1,85	−2,48	3,10	233
06 479	36,91	−0,35	−2,17	2,20	260	−1,57	−1,34	2,07	220
07 479	36,91	−0,35	−2,17	2,20	260	−1,57	−1,34	2,07	220
08 481	46,03	−0,18	−1,74	1,75	264	−1,40	−0,92	1,67	213
09 481	46,03	−0,18	−1,74	1,75	264	−1,40	−0,92	1,67	213
10 483C	55,03	−0,01	−1,45	1,45	269	−1,23	−0,63	1,38	207
11 484	57,21	0,02	−1,38	1,38	271	−1,19	−0,56	1,31	205
12 489	57,41	0,05	−1,00	1,00	273	−1,16	−0,18	1,17	188
13 497	57,50	0,10	−0,64	0,64	279	−1,11	0,18	1,13	170
14 505	58,03	0,15	−0,41	0,44	290	−1,06	0,40	1,13	159
15 512	58,69	0,19	−0,32	0,37	300	−1,02	0,50	1,14	153
16 521G	59,91	0,24	−0,23	0,34	316	−0,97	0,58	1,13	148
17 524	62,97	0,31	−0,22	0,38	324	−0,90	0,59	1,08	146
18 539	66,55	0,46	−0,11	0,48	346	−0,75	0,70	1,03	136
19 551	76,05	0,76	−0,07	0,76	354	−0,45	0,74	0,87	121
20 568	93,45	1,41	−0,04	1,41	358	0,19	0,77	0,80	75
21 568	93,45	1,41	−0,04	1,41	358	0,19	0,77	0,80	75
22 569	90,41	1,48	−0,02	1,49	359	0,27	0,80	0,84	71
23 570Y	88,35	1,53	−0,01	1,53	359	0,31	0,80	0,86	68
24 573	79,56	1,73	−0,00	1,73	359	0,51	0,81	0,96	57
25 575	75,80	1,82	−0,00	1,82	359	0,60	0,81	1,01	53
26 580	63,07	2,15	−0,00	2,15	359	0,93	0,82	1,24	41
27 580	63,07	2,15	−0,00	2,15	359	0,93	0,82	1,24	41
28 585	53,96	2,43	−0,00	2,43	359	1,21	0,82	1,46	34
29 590R	44,96	2,75	0,00	2,75	0	1,53	0,82	1,73	28
30 592	42,78	2,83	−0,02	2,83	359	1,61	0,79	1,80	26
31 694	42,58	2,80	−0,52	2,85	349	1,58	0,29	1,61	10
32 702	42,49	2,75	−1,02	2,93	339	1,53	−0,19	1,54	352
33 710	41,96	2,71	−1,33	3,02	333	1,49	−0,51	1,57	341
34 717	41,30	2,70	−1,48	3,08	331	1,48	−0,66	1,62	335
35 726M	40,08	2,69	−1,64	3,16	328	1,47	−0,82	1,69	330
36 729	37,02	2,79	−1,78	3,31	327	1,57	−0,96	1,84	328
37 744	33,43	2,74	−2,17	3,49	321	1,52	−1,35	2,03	318
38 756	23,94	2,69	−3,11	4,12	310	1,47	−2,29	2,73	302
39 825	6,54	−1,48	−11,64	11,74	262	−2,70	−10,82	11,16	255
U=D50	**100,00**	**1,219**	**−0,821**	**1,470**	**326**	**0,0**	**0,0**	**0,0**	**0**

$a=p_{an}=n_a p_a=2{,}5[(1{,}000x-0{,}171+0{,}000z)/y]$ $A_{nu}=(a-a_u)\,Y$ $C_{ABnu}=[A^2_{nu}+B^2_{nu}]^{1/2}$
$b=p_{bn}=n_b p_b=-1{,}0[(0{,}000x+0{,}000+1{,}000z)/y]$ $B_{nu}=(b-b_u)\,Y$ $h_{ABnu}=\mathrm{atan}[B_{nu}/A_{nu}]$

DE710−4N

CIEF02 tristimulus values, chromatic values, and putities (n_a=2,5, n_b=−1,0).
Normalized *Ostwald (O)* tristimulus values (Y_w=100), odered by hue angle.

no. O C	tristimulus values and chromaticities						*nu*-chromatic values			
λ_n	*X*	*Y*	*Z*	*x*	*y*	*z*	A_{nu}	B_{nu}	C_{ABnu}	h_{ABnu}
00 592	67,61	42,78	1,14	0,606	0,383	0,010	69,1	34,0	77,0	386
01 694	71,10	42,58	22,52	0,522	0,312	0,165	67,5	12,4	68,7	370
02 702	74,12	42,49	43,40	0,463	0,265	0,271	65,0	−8,4	65,6	352
03 710	75,15	41,96	55,91	0,434	0,242	0,323	62,7	−21,4	66,2	341
04 717	75,05	41,30	61,43	0,422	0,232	0,345	61,2	−27,4	67,1	335
05 726M	74,04	40,08	66,11	0,410	0,222	0,366	59,1	−33,1	67,8	330
06 729	71,14	37,02	66,11	0,408	0,212	0,379	58,1	−35,6	68,2	328
07 744	66,16	33,43	72,64	0,384	0,194	0,421	50,9	−45,1	68,0	318
08 386	51,50	23,94	74,68	0,343	0,159	0,497	35,3	−55,0	65,3	302
09 460	12,38	6,54	76,19	0,130	0,068	0,801	−17,6	−70,8	72,9	255
10 465	12,41	9,58	78,25	0,123	0,095	0,780	−23,5	−70,3	74,1	251
11 467	12,45	11,64	78,87	0,120	0,113	0,766	−27,0	−69,3	74,4	248
12 473B	13,31	20,43	79,83	0,117	0,179	0,702	−40,1	−63,0	74,7	237
13 475	14,02	24,19	79,97	0,118	0,204	0,676	−44,9	−60,0	75,0	233
14 479	17,82	36,91	80,16	0,132	0,273	0,594	−58,1	−49,8	76,5	220
15 479	17,82	36,91	80,16	0,132	0,273	0,594	−58,1	−49,8	76,5	220
16 481	21,98	46,03	80,19	0,148	0,310	0,541	−64,5	−42,3	77,2	213
17 481	21,98	46,03	80,19	0,148	0,310	0,541	−64,5	−42,3	77,2	213
18 483C	27,52	55,03	80,21	0,169	0,338	0,492	−67,9	−34,9	76,3	207
19 484	28,85	57,21	79,07	0,174	0,346	0,478	−68,2	−32,0	75,4	205
20 489	25,36	57,41	57,70	0,180	0,408	0,410	−66,6	−10,5	67,5	188
21 497	22,33	57,50	36,81	0,191	0,492	0,315	−64,1	10,4	65,0	170
22 505	21,31	58,03	24,30	0,205	0,559	0,234	−61,8	23,3	66,0	159
23 512G	21,41	58,69	18,79	0,216	0,593	0,190	−60,3	29,4	67,1	153
24 521	22,42	59,91	14,10	0,232	0,621	0,146	−58,2	35,1	68,0	148
25 524	25,32	62,97	14,10	0,247	0,615	0,137	−57,2	37,6	68,5	146
26 539	30,29	66,55	7,57	0,290	0,637	0,072	−50,0	47,1	68,7	136
27 551	44,95	76,05	5,53	0,355	0,601	0,043	−34,4	56,9	66,6	121
28 568	84,08	93,45	4,02	0,463	0,514	0,022	18,5	72,7	75,1	75
29 568	84,08	93,45	4,02	0,463	0,514	0,022	18,5	72,7	75,1	75
30 569	84,05	90,41	1,96	0,476	0,512	0,011	24,4	72,3	76,3	71
31 570	84,00	88,35	1,33	0,483	0,508	0,007	27,9	71,2	76,5	68
32 573Y	83,15	79,56	0,38	0,509	0,487	0,002	41,1	65,0	76,9	57
33 575	82,44	75,80	0,24	0,520	0,478	0,001	45,8	62,0	77,1	53
34 580	78,64	63,07	0,05	0,554	0,444	0,000	59,0	51,7	78,5	41
35 580	78,64	63,07	0,05	0,554	0,444	0,000	59,0	51,7	78,5	41
36 585R	74,48	53,96	0,02	0,579	0,420	0,000	65,4	44,3	79,0	34
37 590	68,94	44,96	0,00	0,605	0,394	0,000	68,8	36,9	78,1	28
38 592	67,61	42,78	1,14	0,606	0,383	0,010	69,1	34,0	77,0	26
39 694	71,10	42,58	22,52	0,522	0,312	0,165	67,5	12,4	68,7	10
U=D50	**96,46**	**100,00**	**82,22**	**0,346**	**0,358**	**0,358**	**0,0**	**0,0**	**0,0**	**0**

$a=p_{anu}=n_a p_a=2{,}5[(1{,}000x-0{,}171+0{,}000z)/y]$ $A_{nu}=(a-a_u)\,Y$ $C_{ABnu}=[A^2_{nu}+B^2_{nu}]^{1/2}$
$b=p_{bnu}=n_b p_b=-1{,}0[(0{,}000x+0{,}000+1{,}000z)/y]$ $B_{nu}=(b-b_u)\,Y$ $h_{ABnu}=\mathrm{atan}[B_{nu}/A_{nu}]$

DE710−7N

DE710−7R_pchartl=1_xcolorl=2(CIEF02)

DE710−8N

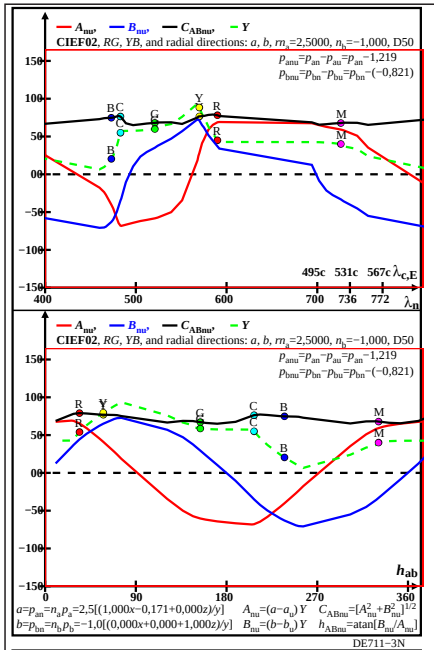

DE711−3N

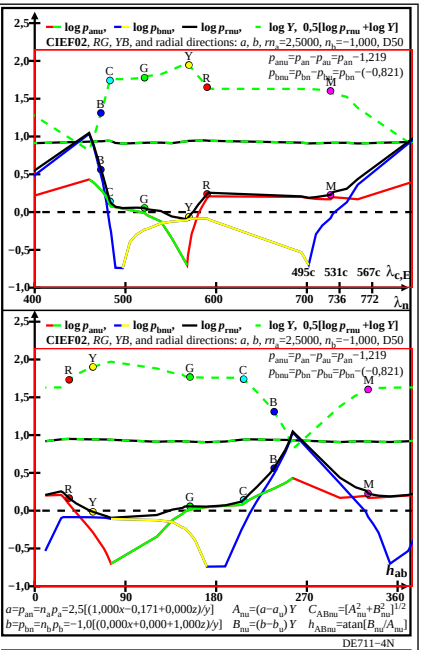

DE711−4N

X_w=96,46, Y_w=100,00, Z_w=82,22
x_w=0,3461 y_w=0,3588 z_w=0,2950
$a'_{1,nu}=(a_1-a_{1,u})\,Y_{18}\,[Y/Y_{18}]^{1/3}$
$b'_{1,nu}=(b_1-b_{1,u})\,Y_{18}\,[Y/Y_{18}]^{1/3}$
$a_1=n_a[(1{,}000x-0{,}171+0{,}000z)/y]$
$b_1=n_b[(0{,}000x+0{,}000+1{,}000z)/y]$
n_a = 2,50, n_b = −1,00
n = D50

$\lambda_{B,G,Y,R}$=475,503,574,494c,E nm
Ostwald colours (o), Y_w=100,00
max (m) chromatic value, D50
purity (q_1, b_1)Y_{18} $(Y/Y_{18}^{1/3})$

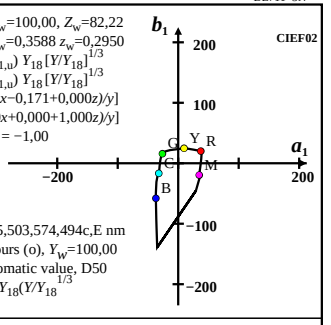

X_w=96,46, Y_w=100,00, Z_w=82,22
x_w=0,3461 y_w=0,3588 z_w=0,2950
$A_1=(a_1-a_{1,u})\,Y/[Y/Y_{18}]^{1/3}$
$B_1=(b_1-b_{1,u})\,Y/[Y/Y_{18}]^{1/3}$
$a_1=n_a[(1{,}000x-0{,}171+0{,}000z)/y]$
$b_1=n_b[(0{,}000x+0{,}000+1{,}000z)/y]$
n_a = 2,50, n_b = −1,00
n = D50

$\lambda_{B,G,Y,R}$=475,503,574,494c,E nm
Ostwald colours (o), Y_w=100,00
max (m) chromatic value, D50
chroma (A^*_1, B^*_1)

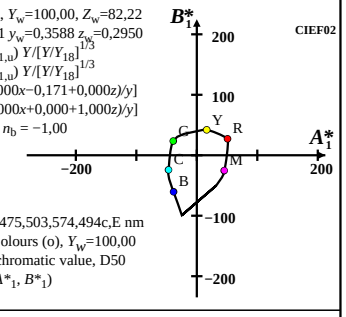

X_w=96,46, Y_w=100,00, Z_w=82,22
x_w=0,3461 y_w=0,3588 z_w=0,2950
$a'_{1,nu}=(a_1-a_{1,u})\,Y_{18}$
$b'_{1,nu}=(b_1-b_{1,u})\,Y_{18}$
$a_1=n_a[(1{,}000x-0{,}171+0{,}000z)/y]$
$b_1=n_b[(0{,}000x+0{,}000+1{,}000z)/y]$
n_a = 2,50, n_b = −1,00
n = D50

$\lambda_{B,G,Y,R}$=475,503,574,494c,E nm
Ostwald colours (o), Y_w=100,00
max (m) chromatic value, D50
purity (a_1, b_1)Y_{18}

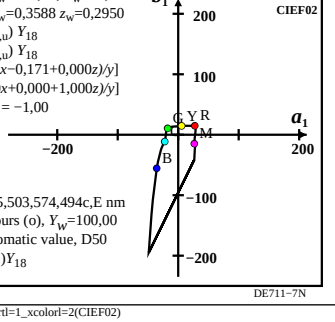

X_w=96,46, Y_w=100,00, Z_w=82,22
x_w=0,3461 y_w=0,3588 z_w=0,2950
$A_1=(a_1-a_{1,u})\,Y$
$B_1=(b_1-b_{1,u})\,Y$
$a_1=n_a[(1{,}000x-0{,}171+0{,}000z)/y]$
$b_1=n_b[(0{,}000x+0{,}000+1{,}000z)/y]$
n_a = 2,50, n_b = −1,00
n = D50

$\lambda_{B,G,Y,R}$=475,503,574,494c,E nm
Ostwald colours (o), Y_w=100,00
max (m) chromatic value, D50
chromatic value (A_1, B_1)

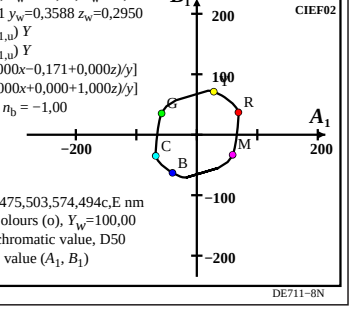

DE711−7N

DE711−8N

DE711−7R_pchartl=1_xcolorl=2(CIEF02)

CIEF10 tristimulus values, chromatic values, and putities (n_a=2,5, n_b=−1,0).
Normalized *Ostwald (O)* tristimulus values (Y_w=100), ordered by wavelength.

no. O C	λ_n	*tristimulus values and chromaticities* X	Y	Z	x	y	z	*nu-chromatic values* A_{nu}	B_{nu}	C_{ABnu}	h_{ABnu}
00	380	52,92	25,78	74,65	0,345	0,168	0,486	35,0	−53,7	64,1	303
01	455	13,14	6,61	74,65	0,139	0,070	0,790	−15,6	−69,2	71,0	257
02	460	13,28	9,49	77,94	0,131	0,094	0,773	−21,5	−70,2	73,4	252
03	462	13,30	11,32	78,97	0,128	0,109	0,762	−24,9	−69,7	74,1	250
04	464B	13,34	13,45	79,69	0,125	0,126	0,748	−28,7	−68,7	74,5	247
05	468	13,69	18,67	80,47	0,121	0,165	0,713	−36,9	−65,3	75,0	240
06	471	14,73	25,21	80,80	0,121	0,208	0,669	−45,8	−60,3	75,7	232
07	472	15,63	28,96	80,89	0,124	0,230	0,644	−50,2	−57,4	76,2	228
08	475	18,33	37,06	80,98	0,134	0,271	0,593	−58,0	−50,9	77,2	221
09	477	22,39	45,70	81,01	0,150	0,306	0,543	−64,0	−43,9	77,6	214
10	477C	24,94	50,08	81,01	0,159	0,320	0,519	−65,9	−40,4	77,4	211
11	479	30,58	58,60	78,68	0,182	0,349	0,468	−67,4	−31,2	74,3	204
12	479	29,07	56,38	80,12	0,175	0,340	0,483	−67,4	−34,4	75,7	207
13	484	25,63	56,72	59,32	0,180	0,400	0,418	−66,2	−13,3	67,6	191
14	492	22,37	56,85	36,73	0,192	0,490	0,316	−63,6	9,3	64,2	171
15	503	21,57	57,63	22,95	0,211	0,564	0,224	−60,6	23,7	65,1	158
16	511G	22,30	58,68	17,25	0,227	0,597	0,175	−58,4	30,2	65,8	152
17	521	24,56	60,88	12,62	0,250	0,620	0,128	−55,4	36,6	66,4	146
18	532	29,89	65,12	9,04	0,287	0,625	0,086	−49,9	43,7	66,3	138
19	545	43,82	74,21	6,37	0,352	0,596	0,051	−34,9	53,7	64,1	123
20	563	83,59	93,38	6,37	0,455	0,509	0,034	15,6	69,2	71,0	77
21	564	83,45	90,50	3,08	0,471	0,511	0,017	21,5	70,2	73,4	72
22	565	83,43	88,67	2,06	0,479	0,509	0,011	24,9	69,7	74,1	70
23	566Y	83,39	86,54	1,34	0,486	0,505	0,007	28,7	68,7	74,5	67
24	568	83,04	81,32	0,56	0,503	0,493	0,003	37,0	65,3	75,0	60
25	571	82,00	74,78	0,23	0,522	0,476	0,001	45,8	60,3	75,7	52
26	573	81,10	71,03	0,14	0,532	0,466	0,000	50,2	57,3	76,2	48
27	577	78,40	62,93	0,05	0,554	0,445	0,000	58,1	50,9	77,2	41
28	581	74,33	54,29	0,02	0,577	0,421	0,000	64,0	43,9	77,6	34
29	584R	71,79	49,91	0,01	0,589	0,410	0,000	66,0	40,4	77,4	31
30	591	66,15	41,39	2,33	0,602	0,376	0,021	67,4	31,1	74,3	24
31	588	67,67	43,61	0,91	0,603	0,388	0,008	67,5	34,4	75,8	27
32	689	71,10	43,27	21,71	0,522	0,317	0,159	66,3	13,3	67,6	11
33	697	74,36	43,14	44,30	0,459	0,266	0,273	63,6	−9,3	64,3	351
34	708	75,16	42,36	58,08	0,428	0,241	0,330	60,6	−23,7	65,1	338
35	716M	74,43	41,31	63,78	0,414	0,230	0,355	58,4	−30,3	65,8	332
36	726	72,17	39,11	68,41	0,401	0,217	0,380	55,4	−36,7	66,5	326
37	737	66,83	34,86	71,99	0,384	0,200	0,414	49,9	−43,7	66,3	318
38	750	52,92	25,78	74,65	0,345	0,168	0,486	35,0	−53,7	64,1	303
39	820	13,14	6,61	74,65	0,139	0,070	0,790	−15,6	−69,2	71,0	257
U=D50		**96,74**	**100,00**	**81,03**	**0,348**	**0,360**	**0,360**	**0,0**	**0,0**	**0,0**	**0**

$a=p_{an}=n_a p_a$=2,5[(1,000x−0,171+0,000z)/y] $A_{nu}=(a-a_u)\,Y$ $C_{ABnu}=[A^2_{nu}+B^2_{nu}]^{1/2}$
$b=p_{bn}=n_b p_b$=−1,0[(0,000x+0,000+1,000z)/y] $B_{nu}=(b-b_u)\,Y$ h_{ABnu}=atan[B_{nu}/A_{nu}]

DE710−3N

CIEF10 tristimulus values, chromatic values, and putities (n_a=2,5, n_b=−1,0).
Normalized *Ostwald (O)* tristimulus values (Y_w=100), ordered by hue angle.

no. O C	λ_n	*tristimulus values and chromaticities* X	Y	Z	x	y	z	*nu-chromatic values* A_{nu}	B_{nu}	C_{ABnu}	h_{ABnu}
00	588	67,67	43,61	0,91	0,603	0,388	0,008	67,5	34,4	75,8	387
01	689	71,10	43,27	21,71	0,522	0,317	0,159	66,3	13,3	67,6	371
02	697	74,36	43,14	44,30	0,459	0,266	0,273	63,6	−9,3	64,3	351
03	708	75,16	42,36	58,08	0,428	0,241	0,330	60,6	−23,7	65,1	338
04	716	74,43	41,31	63,78	0,414	0,230	0,355	58,4	−30,3	65,8	332
05	726M	72,17	39,11	68,41	0,401	0,217	0,380	55,4	−36,7	66,5	326
06	737	66,83	34,86	71,99	0,384	0,200	0,414	49,9	−43,7	66,3	318
07	380	52,92	25,78	74,65	0,345	0,168	0,486	35,0	−53,7	64,1	303
08	455	13,14	6,61	74,65	0,139	0,070	0,790	−15,6	−69,2	71,0	257
09	460	13,28	9,49	77,94	0,131	0,094	0,773	−21,5	−70,2	73,4	252
10	462	13,30	11,32	78,97	0,128	0,109	0,762	−24,9	−69,7	74,1	250
11	464	13,34	13,45	79,69	0,125	0,126	0,748	−28,7	−68,7	74,5	247
12	468B	13,69	18,67	80,47	0,121	0,165	0,713	−36,9	−65,3	75,0	240
13	471	14,73	25,21	80,80	0,121	0,208	0,669	−45,8	−60,3	75,7	232
14	472	15,63	28,96	80,89	0,124	0,230	0,644	−50,2	−57,4	76,2	228
15	475	18,33	37,06	80,98	0,134	0,271	0,593	−58,0	−50,9	77,2	221
16	477	22,39	45,70	81,01	0,150	0,306	0,543	−64,0	−43,9	77,6	214
17	477	24,94	50,08	81,01	0,159	0,320	0,519	−65,9	−40,4	77,4	211
18	479C	30,58	58,60	78,68	0,182	0,349	0,468	−67,4	−31,2	74,3	204
19	479	29,07	56,38	80,12	0,175	0,340	0,483	−67,4	−34,4	75,7	207
20	484	25,63	56,72	59,32	0,180	0,400	0,418	−66,2	−13,3	67,6	191
21	492	22,37	56,85	36,73	0,192	0,490	0,316	−63,6	9,3	64,2	171
22	503	21,57	57,63	22,95	0,211	0,564	0,224	−60,6	23,7	65,1	158
23	511G	22,30	58,68	17,25	0,227	0,597	0,175	−58,4	30,2	65,8	152
24	521	24,56	60,88	12,62	0,250	0,620	0,128	−55,4	36,6	66,4	146
25	532	29,89	65,12	9,04	0,287	0,625	0,086	−49,9	43,7	66,3	138
26	545	43,82	74,21	6,37	0,352	0,596	0,051	−34,9	53,7	64,1	123
27	563	83,59	93,38	6,37	0,455	0,509	0,034	15,6	69,2	71,0	77
28	564	83,45	90,50	3,08	0,471	0,511	0,017	21,5	70,2	73,4	72
29	565	83,43	88,67	2,06	0,479	0,509	0,011	24,9	69,7	74,1	70
30	566	83,39	86,54	1,34	0,486	0,505	0,007	28,7	68,7	74,5	67
31	568	83,04	81,32	0,56	0,503	0,493	0,003	37,0	65,3	75,0	60
32	571Y	82,00	74,78	0,23	0,522	0,476	0,001	45,8	60,3	75,7	52
33	573	81,10	71,03	0,14	0,532	0,466	0,000	50,2	57,3	76,2	48
34	577	78,40	62,93	0,05	0,554	0,445	0,000	58,1	50,9	77,2	41
35	581	74,33	54,29	0,02	0,577	0,421	0,000	64,0	43,9	77,6	34
36	584R	71,79	49,91	0,01	0,589	0,410	0,000	66,0	40,4	77,4	31
37	591	66,15	41,39	2,33	0,602	0,376	0,021	67,4	31,1	74,3	24
38	588	67,67	43,61	0,91	0,603	0,388	0,008	67,5	34,4	75,8	27
39	689	71,10	43,27	21,71	0,522	0,317	0,159	66,3	13,3	67,6	11
U=D50		**96,74**	**100,00**	**81,03**	**0,348**	**0,360**	**0,360**	**0,0**	**0,0**	**0,0**	**0**

$a=p_{an}=n_a p_a$=2,5[(1,000x−0,171+0,000z)/y] $A_{nu}=(a-a_u)\,Y$ $C_{ABnu}=[A^2_{nu}+B^2_{nu}]^{1/2}$
$b=p_{bn}=n_b p_b$=−1,0[(0,000x+0,000+1,000z)/y] $B_{nu}=(b-b_u)\,Y$ h_{ABnu}=atan[B_{nu}/A_{nu}]

DE710−7N

DE710−7R_pchartl=1_xcolorl=3(CIEF10)

CIEF10 tristimulus values, chromatic values, and putities (n_a=2,5, n_b=−1,0).
Normalized *Ostwald (O)* tristimulus values (Y_w=100), ordered by wavelength.

no. O C	λ_n	*n-purities* Y	p_{an}	p_{bn}	p_{rn}	h_{abn}	*nu-purities* p_{anu}	p_{bnu}	p_{rnu}	h_{abnu}
00	380	25,78	2,58	−2,89	3,88	311	1,35	−2,08	2,48	303
01	455	6,61	−1,13	−11,29	11,35	264	−2,36	−10,48	10,74	257
02	460	9,49	−1,03	−8,21	8,27	262	−2,26	−7,40	7,74	252
03	462	11,32	−0,97	−6,97	7,04	262	−2,20	−6,16	6,54	250
04	464B	13,45	−0,90	−5,92	5,99	261	−2,13	−5,11	5,54	247
05	468	18,67	−0,75	−4,31	4,37	260	−1,98	−3,50	4,02	240
06	471	25,21	−0,58	−3,20	3,25	259	−1,81	−2,39	3,00	232
07	472	28,96	−0,50	−2,79	2,83	259	−1,73	−1,98	2,63	228
08	475	37,06	−0,33	−2,18	2,21	261	−1,56	−1,37	2,08	221
09	477	45,70	−0,16	−1,77	1,78	264	−1,40	−0,96	1,69	214
10	477C	50,08	−0,08	−1,61	1,62	266	−1,31	−0,80	1,54	211
11	479	58,60	0,08	−1,34	1,34	273	−1,15	−0,53	1,26	204
12	479	56,38	0,03	−1,42	1,42	271	−1,19	−0,61	1,34	207
13	484	56,72	0,06	−1,04	1,04	273	−1,16	−0,23	1,19	191
14	492	56,85	0,11	−0,64	0,65	279	−1,11	0,16	1,13	171
15	503	57,63	0,17	−0,39	0,43	294	−1,05	0,41	1,13	158
16	511G	58,68	0,23	−0,29	0,37	308	−0,99	0,51	1,12	152
17	521	60,88	0,31	−0,20	0,38	327	−0,91	0,60	1,09	146
18	532	65,12	0,46	−0,13	0,48	343	−0,76	0,67	1,01	138
19	545	74,21	0,75	−0,08	0,76	353	−0,47	0,72	0,86	123
20	563	93,38	1,39	−0,06	1,40	357	0,16	0,74	0,76	77
21	564	90,50	1,46	−0,03	1,46	358	0,23	0,77	0,81	72
22	565	88,67	1,51	−0,02	1,51	359	0,28	0,78	0,83	70
23	566Y	86,54	1,56	−0,01	1,56	359	0,33	0,79	0,86	67
24	568	81,32	1,68	−0,00	1,68	359	0,45	0,80	0,92	60
25	571	74,78	1,84	−0,00	1,84	359	0,61	0,80	1,01	52
26	573	71,03	1,93	−0,00	1,93	359	0,70	0,80	1,07	48
27	577	62,93	2,15	−0,00	2,15	359	0,92	0,80	1,22	41
28	581	54,29	2,41	−0,00	2,41	359	1,17	0,80	1,43	34
29	584R	49,91	2,55	−0,00	2,55	359	1,32	0,80	1,55	31
30	591	41,39	2,86	−0,05	2,86	358	1,62	0,75	1,79	24
31	588	43,61	2,77	−0,02	2,77	359	1,54	0,78	1,73	27
32	689	43,27	2,76	−0,50	2,80	349	1,53	0,30	1,56	11
33	697	43,14	2,70	−1,02	2,89	339	1,47	−0,21	1,49	351
34	708	42,36	2,66	−1,37	2,99	332	1,43	−0,56	1,53	338
35	716M	41,31	2,64	−1,54	3,06	329	1,41	−0,73	1,59	332
36	726	39,11	2,64	−1,74	3,17	326	1,41	−0,93	1,70	326
37	737	34,86	2,66	−2,06	3,37	322	1,43	−1,25	1,90	318
38	750	25,78	2,58	−2,89	3,88	311	1,35	−2,08	2,48	303
39	820	6,61	−1,13	−11,29	11,35	264	−2,36	−10,48	10,74	257
U=D50		**100,00**	**1,230**	**−0,810**	**1,473**	**326**	**0,0**	**0,0**	**0,0**	**0**

$a=p_{an}=n_a p_a$=2,5[(1,000x−0,171+0,000z)/y] $A_{nu}=(a-a_u)\,Y$ $C_{ABnu}=[A^2_{nu}+B^2_{nu}]^{1/2}$
$b=p_{bn}=n_b p_b$=−1,0[(0,000x+0,000+1,000z)/y] $B_{nu}=(b-b_u)\,Y$ h_{ABnu}=atan[B_{nu}/A_{nu}]

DE710−8N

CIEF10 tristimulus values, chromatic values, and putities (n_a=2,5, n_b=−1,0).
Normalized *Ostwald (O)* tristimulus values (Y_w=100), ordered by hue angle.

no. O C	λ_n	*n-purities* Y	p_{an}	p_{bn}	p_{rn}	h_{abn}	*nu-purities* p_{anu}	p_{bnu}	p_{rnu}	h_{abnu}
00	588	43,61	2,77	−0,02	2,77	359	1,54	0,78	1,73	387
01	689	43,27	2,76	−0,50	2,80	349	1,53	0,30	1,56	371
02	697	43,14	2,70	−1,02	2,89	339	1,47	−0,21	1,49	351
03	708	42,36	2,66	−1,37	2,99	332	1,43	−0,56	1,53	338
04	716	41,31	2,64	−1,54	3,06	329	1,41	−0,73	1,59	332
05	726M	39,11	2,64	−1,74	3,17	326	1,41	−0,93	1,70	326
06	737	34,86	2,66	−2,06	3,37	322	1,43	−1,25	1,90	318
07	380	25,78	2,58	−2,89	3,88	311	1,35	−2,08	2,48	303
08	455	6,61	−1,13	−11,29	11,35	264	−2,36	−10,48	10,74	257
09	460	9,49	−1,03	−8,21	8,27	262	−2,26	−7,40	7,74	252
10	462	11,32	−0,97	−6,97	7,04	262	−2,20	−6,16	6,54	250
11	464	13,45	−0,90	−5,92	5,99	261	−2,13	−5,11	5,54	247
12	468B	18,67	−0,75	−4,31	4,37	260	−1,98	−3,50	4,02	240
13	471	25,21	−0,58	−3,20	3,25	259	−1,81	−2,39	3,00	232
14	472	28,96	−0,50	−2,79	2,83	259	−1,73	−1,98	2,63	228
15	475	37,06	−0,33	−2,18	2,21	261	−1,56	−1,37	2,08	221
16	477	45,70	−0,16	−1,77	1,78	264	−1,40	−0,96	1,69	214
17	477	50,08	−0,08	−1,61	1,62	266	−1,31	−0,80	1,54	211
18	479C	58,60	0,08	−1,34	1,34	273	−1,15	−0,53	1,26	204
19	479	56,38	0,03	−1,42	1,42	271	−1,19	−0,61	1,34	207
20	484	56,72	0,06	−1,04	1,04	273	−1,16	−0,23	1,19	191
21	492	56,85	0,11	−0,64	0,65	279	−1,11	0,16	1,13	171
22	503	57,63	0,17	−0,39	0,43	294	−1,05	0,41	1,13	158
23	511G	58,68	0,23	−0,29	0,37	308	−0,99	0,51	1,12	152
24	521	60,88	0,31	−0,20	0,38	327	−0,91	0,60	1,09	146
25	532	65,12	0,46	−0,13	0,48	343	−0,76	0,67	1,01	138
26	545	74,21	0,75	−0,08	0,76	353	−0,47	0,72	0,86	123
27	563	93,38	1,39	−0,06	1,40	357	0,16	0,74	0,76	77
28	564	90,50	1,46	−0,03	1,46	358	0,23	0,77	0,81	72
29	565	88,67	1,51	−0,02	1,51	359	0,28	0,78	0,83	70
30	566	86,54	1,56	−0,01	1,56	359	0,33	0,79	0,86	67
31	568	81,32	1,68	−0,00	1,68	359	0,45	0,80	0,92	60
32	571Y	74,78	1,84	−0,00	1,84	359	0,61	0,80	1,01	52
33	573	71,03	1,93	−0,00	1,93	359	0,70	0,80	1,07	48
34	577	62,93	2,15	−0,00	2,15	359	0,92	0,80	1,22	41
35	581	54,29	2,41	−0,00	2,41	359	1,17	0,80	1,43	34
36	584R	49,91	2,55	−0,00	2,55	359	1,32	0,80	1,55	31
37	591	41,39	2,86	−0,05	2,86	−1	1,62	0,75	1,79	24
38	588	43,61	2,77	−0,02	2,77	0	1,54	0,78	1,73	27
39	689	43,27	2,76	−0,50	2,80	−10	1,53	0,30	1,56	11
U=D50		**100,00**	**1,230**	**−0,810**	**1,473**	**326**	**0,0**	**0,0**	**0,0**	**0**

$a=p_{an}=n_a p_a$=2,5[(1,000x−0,171+0,000z)/y] $A_{nu}=(a-a_u)\,Y$ $C_{ABnu}=[A^2_{nu}+B^2_{nu}]^{1/2}$
$b=p_{bn}=n_b p_b$=−1,0[(0,000x+0,000+1,000z)/y] $B_{nu}=(b-b_u)\,Y$ h_{ABnu}=atan[B_{nu}/A_{nu}]

DE710−8R

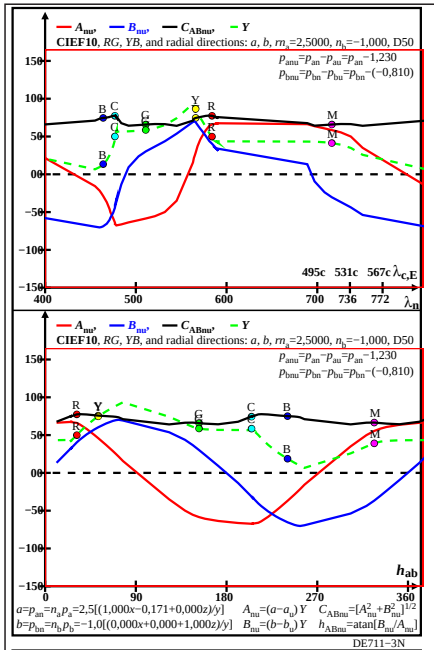

DE711−3N

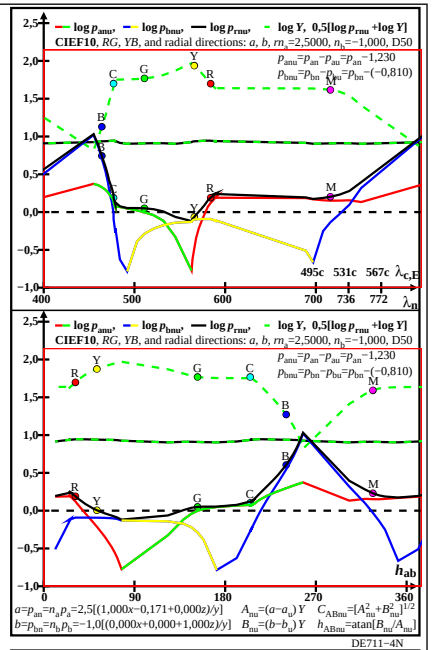

DE711−4N

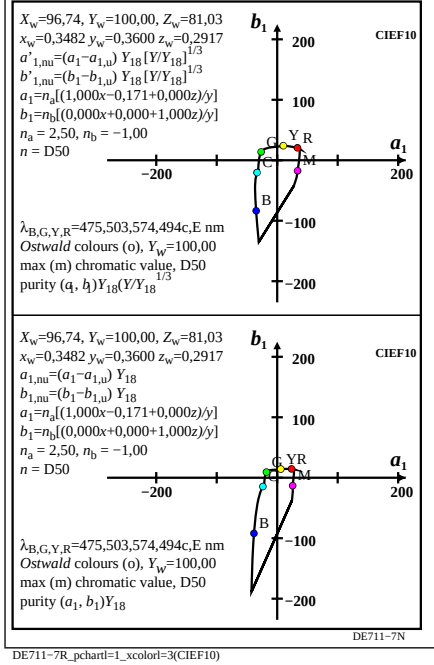

DE711−7N

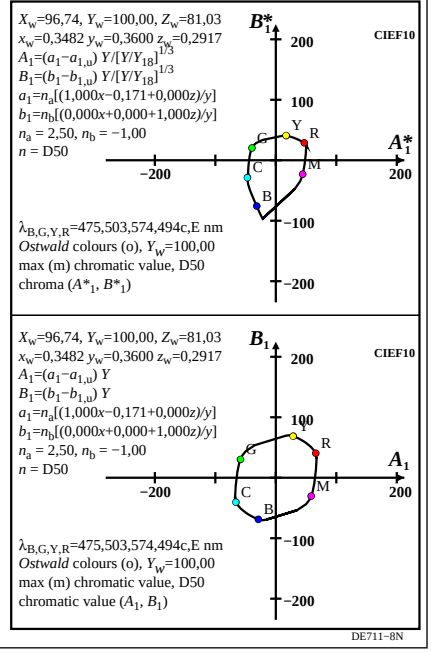

DE711−8N

DE711−7R_pchartl=1_xcolorl=3(CIEF10)

R17M tristimulus values, chromatic values, and putities (n_a=2,5, n_b=−1,0).
Normalized *Ostwald (O)* tristimulus values (Y_w=100), odered by wavelength.

no. O C	tristimulus values and chromaticities						*nu*-chromatic values			
λ_n	*X*	*Y*	*Z*	*x*	*y*	*z*	A_{nu}	B_{nu}	C_{ABnu}	h_{ABnu}
00 373	50,84	23,58	64,46	0,366	0,169	0,464	40,0	−45,4	60,5	311
01 450	26,22	10,37	70,14	0,245	0,097	0,657	7,7	−61,7	62,2	277
02 463	19,81	9,03	72,37	0,195	0,089	0,715	−4,3	−65,0	65,2	266
03 465	19,87	11,18	74,25	0,188	0,106	0,705	−8,4	−65,2	65,7	262
04 470B	20,04	16,46	77,00	0,176	0,145	0,678	−17,7	−63,6	66,1	254
05 474	20,76	23,15	78,71	0,169	0,188	0,641	−27,7	−60,0	66,0	245
06 477	22,69	31,32	79,75	0,169	0,234	0,596	−37,2	−54,4	65,9	235
07 479	24,27	35,77	80,07	0,173	0,255	0,571	−41,2	−51,1	65,7	231
08 481	28,86	45,22	80,48	0,186	0,292	0,520	−47,0	−43,9	64,3	223
09 482	30,21	48,30	79,14	0,191	0,306	0,501	−48,6	−40,1	63,0	219
10 487C	26,13	48,90	65,44	0,186	0,348	0,465	−52,2	−25,9	58,2	206
11 496	20,48	50,06	44,06	0,178	0,436	0,384	−56,6	−3,6	56,7	183
12 500	20,60	52,31	38,55	0,184	0,469	0,345	−57,6	3,7	57,7	176
13 509	19,40	53,50	28,42	0,191	0,528	0,280	−57,6	14,8	59,5	165
14 511	21,83	56,54	28,46	0,204	0,529	0,266	−57,5	17,2	60,0	163
15 518	24,65	60,36	24,01	0,226	0,553	0,220	−55,9	24,7	61,1	156
16 530G	29,99	65,40	16,35	0,268	0,585	0,146	−49,6	36,5	61,6	143
17 538	43,18	76,41	16,37	0,317	0,562	0,120	−39,9	45,3	60,4	131
18 553	67,80	89,62	10,69	0,403	0,533	0,063	−7,7	61,7	62,2	97
19 557	74,22	90,96	8,45	0,427	0,523	0,048	4,4	65,0	65,2	86
20 558	74,15	88,81	6,58	0,437	0,523	0,038	8,5	65,1	65,7	82
21 561	73,98	83,52	3,84	0,458	0,517	0,023	17,8	63,6	66,1	74
22 565	73,26	76,83	2,11	0,481	0,504	0,013	27,7	59,9	66,1	65
23 570Y	71,33	68,67	1,09	0,505	0,486	0,007	37,2	54,4	65,9	55
24 572	69,75	64,22	0,76	0,517	0,476	0,005	41,2	51,1	65,7	51
25 578	65,16	54,77	0,35	0,541	0,455	0,002	47,1	43,9	64,4	42
26 581	63,81	51,69	1,69	0,544	0,441	0,014	48,6	40,0	63,0	39
27 600	67,89	51,09	15,38	0,505	0,380	0,114	52,2	25,9	58,3	26
28 705	73,42	47,68	42,28	0,449	0,291	0,258	57,6	−3,7	57,7	356
29 714R	74,62	46,49	52,41	0,430	0,267	0,302	57,7	−14,8	59,6	345
30 716	72,19	43,45	52,37	0,429	0,258	0,311	57,5	−17,2	60,1	343
31 723	69,37	39,63	56,82	0,418	0,238	0,342	55,9	−24,7	61,2	336
32 735	64,03	34,59	64,49	0,392	0,212	0,395	49,6	−36,5	61,6	323
33 743	50,84	23,58	64,46	0,366	0,169	0,464	40,0	−45,4	60,5	311
34 815	26,22	10,37	70,14	0,245	0,097	0,657	7,7	−61,7	62,2	277
U=D50	**94,03**	**100,00**	**80,83**	**0,342**	**0,363**	**0,363**	**0,0**	**0,0**	**0,0**	**0**

$a=p_{an}=n_a p_a$=2,5[(1,000x−0,171+0,000z)/y] $A_{nu}=(a-a_u)\,Y$ $C_{ABnu}=[A^2_{nu}+B^2_{nu}]^{1/2}$
$b=p_{bn}=n_b p_b$=−1,0[(0,000x+0,000+1,000z)/y] $B_{nu}=(b-b_u)\,Y$ h_{ABnu}=atan[B_{nu}/A_{nu}]

DE710−3N

R17M tristimulus values, chromatic values, and putities (n_a=2,5, n_b=−1,0).
Normalized *Ostwald (O)* tristimulus values (Y_w=100), odered by wavelength.

no. O C	*n*-purities					*nu*-purities				
λ_n	*Y*	p_{an}	p_{bn}	p_{rn}	h_{abn}	p_{anu}	p_{bnu}	p_{rnu}	h_{abnu}
00 373	23,58	2,87	−2,73	3,96	316	1,69	−1,92	2,56	311
01 450	10,37	1,92	−6,76	7,03	285	0,74	−5,95	6,00	277
02 463	9,03	0,69	−8,01	8,04	274	−0,48	−7,20	7,22	266
03 465	11,18	0,41	−6,64	6,65	273	−0,75	−5,83	5,88	262
04 470B	16,46	0,09	−4,67	4,67	271	−1,07	−3,86	4,01	254
05 474	23,15	−0,02	−3,40	3,40	269	−1,19	−2,59	2,85	245
06 477	31,32	−0,01	−2,54	2,54	269	−1,18	−1,73	2,10	235
07 479	35,77	0,02	−2,23	2,23	270	−1,15	−1,43	1,83	231
08 481	45,22	0,13	−1,77	1,78	274	−1,04	−0,97	1,42	223
09 482	48,30	0,16	−1,63	1,64	275	−1,00	−0,83	1,30	219
10 487C	48,90	0,10	−1,33	1,34	274	−1,06	−0,53	1,19	206
11 496	50,06	0,04	−0,88	0,88	272	−1,13	−0,07	1,13	183
12 500	52,31	0,07	−0,73	0,74	275	−1,10	0,07	1,10	176
13 509	53,50	0,09	−0,53	0,54	280	−1,07	0,27	1,11	165
14 511	56,54	0,15	−0,50	0,52	287	−1,01	0,30	1,06	163
15 518	60,36	0,24	−0,39	0,46	302	−0,92	0,41	1,01	156
16 530G	65,40	0,41	−0,25	0,48	329	−0,75	0,55	0,94	143
17 538	76,41	0,65	−0,21	0,68	341	−0,52	0,59	0,79	131
18 553	89,62	1,08	−0,11	1,09	353	−0,08	0,68	0,69	97
19 557	90,96	1,22	−0,09	1,22	355	0,04	0,71	0,71	86
20 558	88,81	1,27	−0,07	1,27	356	0,09	0,73	0,74	82
21 561	83,52	1,38	−0,04	1,38	358	0,21	0,76	0,79	74
22 565	76,83	1,53	−0,02	1,53	358	0,36	0,78	0,86	65
23 570Y	68,67	1,71	−0,01	1,71	359	0,54	0,79	0,96	55
24 572	64,22	1,81	−0,01	1,81	359	0,64	0,79	1,02	51
25 578	54,77	2,03	−0,00	2,03	359	0,86	0,80	1,17	42
26 581	51,69	2,11	−0,03	2,11	359	0,94	0,77	1,21	39
27 600	51,09	2,19	−0,30	2,21	352	1,02	0,50	1,14	26
28 705	47,68	2,38	−0,88	2,54	339	1,20	−0,07	1,21	356
29 714R	46,49	2,41	−1,12	2,66	334	1,24	−0,31	1,28	345
30 716	43,45	2,50	−1,20	2,77	334	1,32	−0,39	1,38	343
31 723	39,63	2,58	−1,43	2,95	331	1,41	−0,62	1,54	336
32 735	34,59	2,61	−1,86	3,20	324	1,43	−1,05	1,78	323
33 743	23,58	2,87	−2,73	3,96	316	1,69	−1,92	2,56	311
34 815	10,37	1,92	−6,76	7,03	285	0,74	−5,95	6,00	277
U=D50	**100,00**	**1,175**	**−0,808**	**1,426**	**325**	**0,0**	**0,0**	**0,0**	**0**

$a=p_{an}=n_a p_a$=2,5[(1,000x−0,171+0,000z)/y] $A_{nu}=(a-a_u)\,Y$ $C_{ABnu}=[A^2_{nu}+B^2_{nu}]^{1/2}$
$b=p_{bn}=n_b p_b$=−1,0[(0,000x+0,000+1,000z)/y] $B_{nu}=(b-b_u)\,Y$ h_{ABnu}=atan[B_{nu}/A_{nu}]

DE710−4N

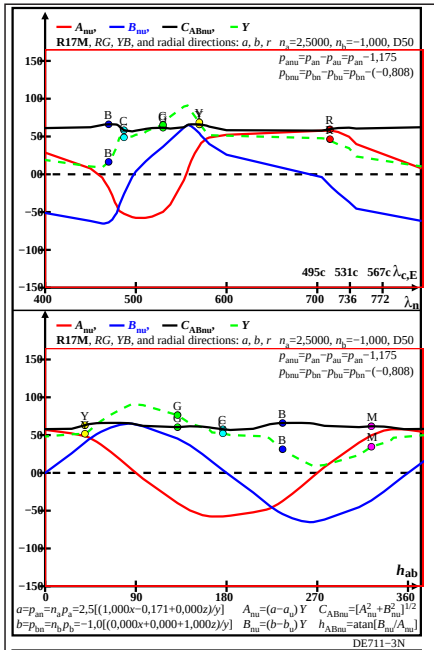

DE711−3N

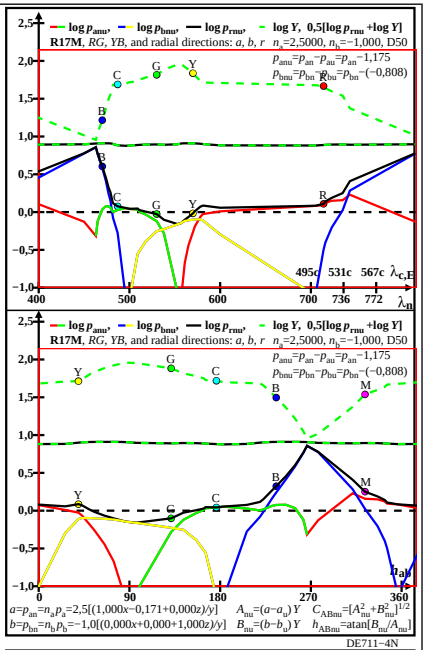

DE711−4N

R17M tristimulus values, chromatic values, and putities (n_a=2,5, n_b=−1,0).
Normalized *Ostwald (O)* tristimulus values (Y_w=100), odered by hue angle.

no. O C	tristimulus values and chromaticities						*nu*-chromatic values			
λ_n	*X*	*Y*	*Z*	*x*	*y*	*z*	A_{nu}	B_{nu}	C_{ABnu}	h_{ABnu}
00 600	67,89	51,09	15,38	0,505	0,380	0,114	52,2	25,9	58,3	386
01 705	73,42	47,68	42,28	0,449	0,291	0,258	57,6	−3,7	57,7	356
02 714	74,62	46,49	52,41	0,430	0,267	0,302	57,7	−14,8	59,6	345
03 716	72,19	43,45	52,37	0,429	0,258	0,311	57,5	−17,2	60,1	343
04 723	69,37	39,63	56,82	0,418	0,238	0,342	55,9	−24,7	61,2	336
05 735M	64,03	34,59	64,49	0,392	0,212	0,395	49,6	−36,5	61,6	323
06 373	50,84	23,58	64,46	0,366	0,169	0,464	40,0	−45,4	60,5	311
07 450	26,22	10,37	70,14	0,245	0,097	0,657	7,7	−61,7	62,2	277
08 463	19,81	9,03	72,37	0,195	0,089	0,715	−4,3	−65,0	65,2	266
09 465	19,87	11,18	74,25	0,188	0,106	0,705	−8,4	−65,2	65,7	262
10 470	20,04	16,46	77,00	0,176	0,145	0,678	−17,7	−63,6	66,1	254
11 474	20,76	23,15	78,71	0,169	0,188	0,641	−27,7	−60,0	66,0	245
12 477B	22,69	31,32	79,75	0,169	0,234	0,596	−37,2	−54,4	65,9	235
13 479	24,27	35,77	80,07	0,173	0,255	0,571	−41,2	−51,1	65,7	231
14 481	28,86	45,22	80,48	0,186	0,292	0,520	−47,0	−43,9	64,3	223
15 482	30,21	48,30	79,14	0,191	0,306	0,501	−48,6	−40,1	63,0	219
16 487	26,13	48,90	65,44	0,186	0,348	0,465	−52,2	−25,9	58,2	206
17 496	20,48	50,06	44,06	0,178	0,436	0,384	−56,6	−3,6	56,7	183
18 500C	20,60	52,31	38,55	0,184	0,469	0,345	−57,6	3,7	57,7	176
19 509	19,40	53,50	28,42	0,191	0,528	0,280	−57,6	14,8	59,5	165
20 511	21,83	56,54	28,46	0,204	0,529	0,266	−57,5	17,2	60,0	163
21 518	24,65	60,36	24,01	0,226	0,553	0,220	−55,9	24,7	61,1	156
22 530	29,99	65,40	16,35	0,268	0,585	0,146	−49,6	36,5	61,6	143
23 538G	43,18	76,41	16,37	0,317	0,562	0,120	−39,9	45,3	60,4	131
24 553	67,80	89,62	10,69	0,403	0,533	0,063	−7,7	61,7	62,2	97
25 557	74,22	90,96	8,45	0,427	0,523	0,048	4,4	65,0	65,2	86
26 558	74,15	88,81	6,58	0,437	0,523	0,038	8,5	65,1	65,7	82
27 561	73,98	83,52	3,84	0,458	0,517	0,023	17,8	63,6	66,1	74
28 565	73,26	76,83	2,11	0,481	0,504	0,013	27,7	59,9	66,1	65
29 570	71,33	68,67	1,09	0,505	0,486	0,007	37,2	54,4	65,9	55
30 572	69,75	64,22	0,76	0,517	0,476	0,005	41,2	51,1	65,7	51
31 578	65,16	54,77	0,35	0,541	0,455	0,002	47,1	43,9	64,4	42
32 581Y	63,81	51,69	1,69	0,544	0,441	0,014	48,6	40,0	63,0	39
33 600	67,89	51,09	15,38	0,505	0,380	0,114	52,2	25,9	58,3	26
34 705	73,42	47,68	42,28	0,449	0,291	0,258	57,6	−3,7	57,7	−3
U=D50	**94,03**	**100,00**	**80,83**	**0,342**	**0,363**	**0,363**	**0,0**	**0,0**	**0,0**	**0**

$a=p_{an}=n_a p_a$=2,5[(1,000x−0,171+0,000z)/y] $A_{nu}=(a-a_u)\,Y$ $C_{ABnu}=[A^2_{nu}+B^2_{nu}]^{1/2}$
$b=p_{bn}=n_b p_b$=−1,0[(0,000x+0,000+1,000z)/y] $B_{nu}=(b-b_u)\,Y$ h_{ABnu}=atan[B_{nu}/A_{nu}]

DE710−7N

R17M tristimulus values, chromatic values, and putities (n_a=2,5, n_b=−1,0).
Normalized *Ostwald (O)* tristimulus values (Y_w=100), odered by hue angle.

no. O C	*n*-purities					*nu*-purities				
λ_n	*Y*	p_{an}	p_{bn}	p_{rn}	h_{abn}	p_{anu}	p_{bnu}	p_{rnu}	h_{abnu}
00 600	51,09	2,19	−0,30	2,21	352	1,02	0,50	1,14	386
01 705	47,68	2,38	−0,88	2,54	339	1,20	−0,07	1,21	356
02 714	46,49	2,41	−1,12	2,66	334	1,24	−0,31	1,28	345
03 716	43,45	2,50	−1,20	2,77	334	1,32	−0,39	1,38	343
04 723	39,63	2,58	−1,43	2,95	331	1,41	−0,62	1,54	336
05 735M	34,59	2,61	−1,86	3,20	324	1,43	−1,05	1,78	323
06 373	23,58	2,87	−2,73	3,96	316	1,69	−1,92	2,56	311
07 450	10,37	1,92	−6,76	7,03	285	0,74	−5,95	6,00	277
08 463	9,03	0,69	−8,01	8,04	274	−0,48	−7,20	7,22	266
09 465	11,18	0,41	−6,64	6,65	273	−0,75	−5,83	5,88	262
10 470	16,46	0,09	−4,67	4,67	271	−1,07	−3,86	4,01	254
11 474	23,15	−0,02	−3,40	3,40	269	−1,19	−2,59	2,85	245
12 477B	31,32	−0,01	−2,54	2,54	269	−1,18	−1,73	2,10	235
13 479	35,77	0,02	−2,23	2,23	270	−1,15	−1,43	1,83	231
14 481	45,22	0,13	−1,77	1,78	274	−1,04	−0,97	1,42	223
15 482	48,30	0,16	−1,63	1,64	275	−1,00	−0,83	1,30	219
16 487	48,90	0,10	−1,33	1,34	274	−1,06	−0,53	1,19	206
17 496	50,06	0,04	−0,88	0,88	272	−1,13	−0,07	1,13	183
18 500C	52,31	0,07	−0,73	0,74	275	−1,10	0,07	1,10	176
19 509	53,50	0,09	−0,53	0,54	280	−1,07	0,27	1,11	165
20 511	56,54	0,15	−0,50	0,52	287	−1,01	0,30	1,06	163
21 518	60,36	0,24	−0,39	0,46	302	−0,92	0,41	1,01	156
22 530	65,40	0,41	−0,25	0,48	329	−0,75	0,55	0,94	143
23 538G	76,41	0,65	−0,21	0,68	341	−0,52	0,59	0,79	131
24 553	89,62	1,08	−0,11	1,09	353	−0,08	0,68	0,69	97
25 557	90,96	1,22	−0,09	1,22	355	0,04	0,71	0,71	86
26 558	88,81	1,27	−0,07	1,27	356	0,09	0,73	0,74	82
27 561	83,52	1,38	−0,04	1,38	358	0,21	0,76	0,79	74
28 565	76,83	1,53	−0,02	1,53	358	0,36	0,78	0,86	65
29 570	68,67	1,71	−0,01	1,71	359	0,54	0,79	0,96	55
30 572	64,22	1,81	−0,01	1,81	359	0,64	0,79	1,02	51
31 578	54,77	2,03	−0,00	2,03	359	0,86	0,80	1,17	42
32 581Y	51,69	2,11	−0,03	2,11	0	0,94	0,77	1,21	39
33 600	51,09	2,19	−0,30	2,21	−7	1,02	0,50	1,14	26
34 705	47,68	2,38	−0,88	2,54	−20	1,20	−0,07	1,21	−3
U=D50	**100,00**	**1,175**	**−0,808**	**1,426**	**325**	**0,0**	**0,0**	**0,0**	**0**

$a=p_{an}=n_a p_a$=2,5[(1,000x−0,171+0,000z)/y] $A_{nu}=(a-a_u)\,Y$ $C_{ABnu}=[A^2_{nu}+B^2_{nu}]^{1/2}$
$b=p_{bn}=n_b p_b$=−1,0[(0,000x+0,000+1,000z)/y] $B_{nu}=(b-b_u)\,Y$ h_{ABnu}=atan[B_{nu}/A_{nu}]

DE710−8N

DE710−7R_pchartl=1_xcolorl=4(R17M)

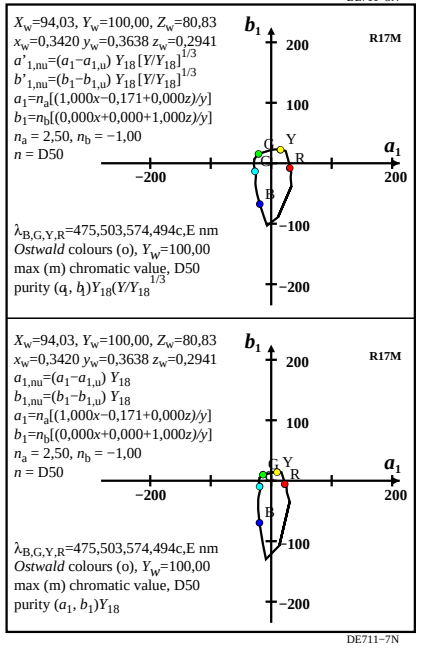

DE711−7N

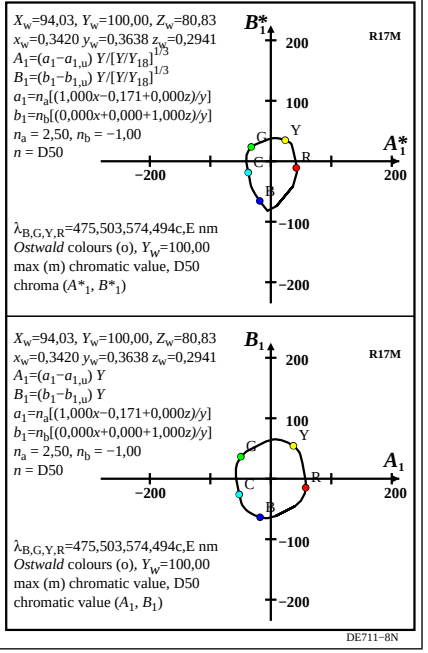

DE711−8N

DE711−7R_pchartl=1_xcolorl=4(R17M)

TUB-test chart DE71; 4 CIE and 2 R17M observers, colorimetric calculations of chromatic values
purity definition: a=2,5[(x−0,171)/y], b=−1,0[z/y]

R17Ms tristimulus values, chromatic values, and putities (n_a=2,5, n_b=−1,0).
Normalized *Ostwald (O)* tristimulus values (Y_w=100), ordered by wavelength.

no.	*O*	*C*	tristimulus values and chromaticities						*nu*-chromatic values			
		λ_n	*X*	*Y*	*Z*	*x*	*y*	*z*	A_{nu}	B_{nu}	C_{ABnu}	h_{ABnu}
00	375		52,09	25,14	67,62	0,359	0,173	0,466	38,8	−47,2	61,2	309
01	444		27,16	9,33	67,62	0,260	0,089	0,649	12,4	−60,0	61,3	281
02	463		21,19	9,55	72,48	0,205	0,092	0,702	−2,3	−64,7	64,7	267
03	465		21,27	11,71	74,36	0,198	0,109	0,692	−6,4	−64,8	65,1	264
04	470B		21,43	17,01	77,11	0,185	0,147	0,667	−15,7	−63,3	65,2	256
05	474		22,09	23,68	78,83	0,177	0,190	0,632	−25,7	−59,6	64,9	246
06	476		22,83	27,59	79,42	0,175	0,212	0,611	−30,7	−57,0	64,8	241
07	479		25,44	36,25	80,19	0,179	0,255	0,565	−39,4	−50,8	64,3	232
08	480		27,41	40,88	80,43	0,184	0,274	0,540	−42,8	−47,3	63,8	227
09	481		29,88	45,66	80,60	0,191	0,292	0,516	−45,4	−43,6	63,0	223
10	482C		31,14	48,71	79,26	0,195	0,306	0,498	−47,1	−39,8	61,7	220
11	488		25,13	49,09	60,78	0,186	0,363	0,450	−52,3	−21,0	56,3	201
12	496		20,67	50,20	44,12	0,179	0,436	0,383	−56,2	−3,4	56,3	183
13	500		20,63	52,39	38,61	0,184	0,469	0,345	−57,4	3,7	57,5	176
14	505		20,59	54,04	33,36	0,190	0,500	0,308	−57,9	10,3	58,8	169
15	515		20,37	55,82	24,00	0,203	0,557	0,239	−57,1	21,1	60,9	159
16	522G		23,24	59,39	19,95	0,226	0,578	0,194	−55,2	28,1	61,9	153
17	530		29,26	65,19	16,37	0,264	0,588	0,147	−50,4	36,3	62,2	144
18	540		41,69	74,85	13,32	0,321	0,576	0,103	−38,8	47,2	61,1	129
19	552		66,62	90,66	13,33	0,390	0,531	0,078	−12,4	60,0	61,3	101
20	557		72,58	90,44	8,47	0,423	0,527	0,049	2,3	64,7	64,7	87
21	558		72,51	88,28	6,59	0,433	0,527	0,039	6,4	64,8	65,1	84
22	561		72,35	82,98	3,84	0,454	0,521	0,024	15,7	63,3	65,2	76
23	565Y		71,69	76,31	2,11	0,477	0,508	0,014	25,7	59,6	64,9	66
24	567		70,94	72,40	1,53	0,489	0,499	0,010	30,7	57,0	64,8	61
25	572		68,33	63,74	0,76	0,514	0,479	0,005	39,5	50,8	64,3	52
26	575		66,36	59,11	0,52	0,526	0,469	0,004	42,8	47,3	63,8	47
27	578		63,90	54,33	0,35	0,538	0,458	0,002	45,5	43,6	63,0	43
28	581		62,64	51,28	1,69	0,541	0,443	0,014	47,1	39,8	61,7	40
29	614R		68,65	50,90	20,17	0,491	0,364	0,144	52,3	21,0	56,4	21
30	701		73,11	49,79	36,82	0,457	0,311	0,230	56,2	3,4	56,3	3
31	705		73,15	47,60	42,34	0,448	0,291	0,259	57,4	−3,8	57,6	356
32	710		73,19	45,95	47,59	0,438	0,275	0,285	57,9	−10,4	58,8	349
33	720		73,40	44,17	56,94	0,420	0,253	0,326	57,2	−21,1	61,0	339
34	727		70,53	40,59	61,00	0,409	0,235	0,354	55,2	−28,1	62,0	333
35	735M		64,51	34,79	64,58	0,393	0,212	0,394	50,5	−36,4	62,3	324
36	745		52,09	25,14	67,62	0,359	0,173	0,466	38,8	−47,2	61,2	309
37	809		27,16	9,33	67,62	0,260	0,089	0,649	12,4	−60,0	61,3	281
U=D50			**93,78**	**100,00**	**80,94**	**0,341**	**0,363**	**0,363**	**0,0**	**0,0**	**0,0**	**0**

$a=p_{an}=n_a p_a$=2,5[(1,000x−0,171+0,000z)/y] $A_{nu}=(a-a_u)\,Y$ $C_{ABnu}=[A^2_{nu}+B^2_{nu}]^{1/2}$
$b=p_{bn}=n_b p_b$=−1,0[(0,000x+0,000+1,000z)/y] $B_{nu}=(b-b_u)\,Y$ h_{ABnu}=atan[B_{nu}/A_{nu}]

DE710−3N

R17Ms tristimulus values, chromatic values, and putities (n_a=2,5, n_b=−1,0).
Normalized *Ostwald (O)* tristimulus values (Y_w=100), ordered by hue angle.

no.	*O*	*C*	tristimulus values and chromaticities						*nu*-chromatic values			
		λ_n	*X*	*Y*	*Z*	*x*	*y*	*z*	A_{nu}	B_{nu}	C_{ABnu}	h_{ABnu}
00	614		68,65	50,90	20,17	0,491	0,364	0,144	52,3	21,0	56,4	381
01	701		73,11	49,79	36,82	0,457	0,311	0,230	56,2	3,4	56,3	363
02	705		73,15	47,60	42,34	0,448	0,291	0,259	57,4	−3,8	57,6	356
03	710		73,19	45,95	47,59	0,438	0,275	0,285	57,9	−10,4	58,8	349
04	720		73,40	44,17	56,94	0,420	0,253	0,326	57,2	−21,1	61,0	339
05	727M		70,53	40,59	61,00	0,409	0,235	0,354	55,2	−28,1	62,0	333
06	735		64,51	34,79	64,58	0,393	0,212	0,394	50,5	−36,4	62,3	324
07	375		52,09	25,14	67,62	0,359	0,173	0,466	38,8	−47,2	61,2	309
08	444		27,16	9,33	67,62	0,260	0,089	0,649	12,4	−60,0	61,3	281
09	463		21,19	9,55	72,48	0,205	0,092	0,702	−2,3	−64,7	64,7	267
10	465		21,27	11,71	74,36	0,198	0,109	0,692	−6,4	−64,8	65,1	264
11	470		21,43	17,01	77,11	0,185	0,147	0,667	−15,7	−63,3	65,2	256
12	474B		22,09	23,68	78,83	0,177	0,190	0,632	−25,7	−59,6	64,9	246
13	476		22,83	27,59	79,42	0,175	0,212	0,611	−30,7	−57,0	64,8	241
14	479		25,44	36,25	80,19	0,179	0,255	0,565	−39,4	−50,8	64,3	232
15	480		27,41	40,88	80,43	0,184	0,274	0,540	−42,8	−47,3	63,8	227
16	481		29,88	45,66	80,60	0,191	0,292	0,516	−45,4	−43,6	63,0	223
17	482		31,14	48,71	79,26	0,195	0,306	0,498	−47,1	−39,8	61,7	220
18	488C		25,13	49,09	60,78	0,186	0,363	0,450	−52,3	−21,0	56,3	201
19	496		20,67	50,20	44,12	0,179	0,436	0,383	−56,2	−3,4	56,3	183
20	500		20,63	52,39	38,61	0,184	0,469	0,345	−57,4	3,7	57,5	176
21	505		20,59	54,04	33,36	0,190	0,500	0,308	−57,9	10,3	58,8	169
22	515		20,37	55,82	24,00	0,203	0,557	0,239	−57,1	21,1	60,9	159
23	522G		23,24	59,39	19,95	0,226	0,578	0,194	−55,2	28,1	61,9	153
24	530		29,26	65,19	16,37	0,264	0,588	0,147	−50,4	36,3	62,2	144
25	540		41,69	74,85	13,32	0,321	0,576	0,102	−38,8	47,2	61,1	129
26	552		66,62	90,66	13,33	0,390	0,531	0,078	−12,4	60,0	61,3	101
27	557		72,58	90,44	8,47	0,423	0,527	0,049	2,3	64,7	64,7	87
28	558		72,51	88,28	6,59	0,433	0,527	0,039	6,4	64,8	65,1	84
29	561		72,35	82,98	3,84	0,454	0,521	0,024	15,7	63,3	65,2	76
30	565		71,69	76,31	2,11	0,477	0,508	0,014	25,7	59,6	64,9	66
31	567		70,94	72,40	1,53	0,489	0,499	0,010	30,7	57,0	64,8	61
32	572Y		68,33	63,74	0,76	0,514	0,479	0,005	39,5	50,8	64,3	52
33	575		66,36	59,11	0,52	0,526	0,469	0,004	42,8	47,3	63,8	47
34	578		63,90	54,33	0,35	0,538	0,458	0,002	45,5	43,6	63,0	43
35	581		62,64	51,28	1,69	0,541	0,443	0,014	47,1	39,8	61,7	40
36	614R		68,65	50,90	20,17	0,491	0,364	0,144	52,3	21,0	56,4	21
37	701		73,11	49,79	36,82	0,457	0,311	0,230	56,2	3,4	56,3	3
U=D50			**93,78**	**100,00**	**80,94**	**0,341**	**0,363**	**0,363**	**0,0**	**0,0**	**0,0**	**0**

$a=p_{an}=n_a p_a$=2,5[(1,000x−0,171+0,000z)/y] $A_{nu}=(a-a_u)\,Y$ $C_{ABnu}=[A^2_{nu}+B^2_{nu}]^{1/2}$
$b=p_{bn}=n_b p_b$=−1,0[(0,000x+0,000+1,000z)/y] $B_{nu}=(b-b_u)\,Y$ h_{ABnu}=atan[B_{nu}/A_{nu}]

DE710−7N

DE710−7R_pchartl=1_xcolorl=5(R17Ms)

R17Ms tristimulus values, chromatic values, and putities (n_a=2,5, n_b=−1,0).
Normalized *Ostwald (O)* tristimulus values (Y_w=100), ordered by *n*-purities.

no.	*O*	*C*	*n*-purities					*nu*-purities			
		λ_n	*Y*	p_{an}	p_{bn}	p_{rn}	h_{abn}	p_{anu}	p_{bnu}	p_{rnu}	h_{abnu}
00	375		25,14	2,71	−2,69	3,82	315	1,54	−1,88	2,43	309
01	444		9,33	2,50	−7,24	7,66	289	1,33	−6,43	6,57	281
02	463		9,55	0,92	−7,58	7,64	276	−0,24	−6,78	6,78	267
03	465		11,71	0,62	−6,35	6,38	275	−0,54	−5,54	5,56	264
04	470B		17,01	0,24	−4,53	4,53	273	−0,92	−3,72	3,83	256
05	474		23,68	0,08	−3,32	3,33	271	−1,08	−2,51	2,74	246
06	476		27,59	0,05	−2,87	2,87	271	−1,11	−2,06	2,34	241
07	479		36,25	0,08	−2,21	2,21	272	−1,08	−1,40	1,77	232
08	480		40,88	0,12	−1,96	1,97	273	−1,04	−1,15	1,56	227
09	481		45,66	0,17	−1,76	1,77	275	−0,99	−0,95	1,38	223
10	482C		48,71	0,20	−1,62	1,63	277	−0,96	−0,81	1,26	220
11	488		49,09	0,10	−1,23	1,24	274	−1,06	−0,42	1,14	201
12	496		50,20	0,05	−0,87	0,88	273	−1,11	−0,06	1,12	183
13	500		52,39	0,07	−0,73	0,74	275	−1,09	0,07	1,09	176
14	505		54,04	0,09	−0,61	0,62	279	−1,07	0,19	1,08	169
15	515		55,82	0,14	−0,42	0,45	288	−1,02	0,37	1,09	159
16	522G		59,39	0,23	−0,33	0,41	305	−0,92	0,47	1,04	153
17	530		65,19	0,39	−0,25	0,46	327	−0,77	0,55	0,95	144
18	540		74,85	0,65	−0,17	0,67	344	−0,51	0,63	0,81	129
19	552		90,66	1,03	−0,14	1,04	351	−0,13	0,66	0,67	101
20	557		90,44	1,19	−0,09	1,19	355	0,02	0,71	0,71	87
21	558		88,28	1,24	−0,07	1,24	356	0,07	0,73	0,73	84
22	561		82,98	1,35	−0,04	1,36	358	0,19	0,76	0,78	76
23	565Y		76,31	1,50	−0,02	1,50	358	0,33	0,78	0,85	66
24	567		72,40	1,59	−0,02	1,59	359	0,42	0,78	0,89	61
25	572		63,74	1,78	−0,01	1,78	359	0,61	0,79	1,00	52
26	575		59,11	1,89	−0,00	1,89	359	0,72	0,80	1,08	47
27	578		54,33	2,00	−0,00	2,00	359	0,83	0,80	1,16	43
28	581		51,28	2,09	−0,03	2,09	359	0,92	0,77	1,20	40
29	614R		50,90	2,19	−0,39	2,23	349	1,02	0,41	1,10	21
30	701		49,79	2,29	−0,73	2,41	342	1,12	0,06	1,13	3
31	705		47,60	2,37	−0,88	2,53	339	1,20	−0,08	1,21	356
32	710		45,95	2,43	−1,03	2,64	336	1,26	−0,22	1,28	349
33	720		44,17	2,46	−1,28	2,78	332	1,29	−0,47	1,38	339
34	727		40,59	2,53	−1,50	2,94	329	1,36	−0,69	1,52	333
35	735M		34,79	2,62	−1,85	3,21	324	1,45	−1,04	1,79	324
36	745		25,14	2,71	−2,69	3,82	315	1,54	−1,88	2,43	309
37	809		9,33	2,50	−7,24	7,66	289	1,33	−6,43	6,57	281
U=D50			**100,00**	**1,169**	**−0,809**	**1,422**	**325**	**0,0**	**0,0**	**0,0**	**0**

$a=p_{an}=n_a p_a$=2,5[(1,000x−0,171+0,000z)/y] $A_{nu}=(a-a_u)\,Y$ $C_{ABnu}=[A^2_{nu}+B^2_{nu}]^{1/2}$
$b=p_{bn}=n_b p_b$=−1,0[(0,000x+0,000+1,000z)/y] $B_{nu}=(b-b_u)\,Y$ h_{ABnu}=atan[B_{nu}/A_{nu}]

DE710−8N

R17Ms tristimulus values, chromatic values, and putities (n_a=2,5, n_b=−1,0).
Normalized *Ostwald (O)* tristimulus values (Y_w=100), ordered by hue angle.

no.	*O*	*C*	*n*-purities					*nu*-purities			
		λ_n	*Y*	p_{an}	p_{bn}	p_{rn}	h_{abn}	p_{anu}	p_{bnu}	p_{rnu}	h_{abnu}
00	614		50,90	2,19	−0,39	2,23	349	1,02	0,41	1,10	381
01	701		49,79	2,29	−0,73	2,41	342	1,12	0,06	1,13	363
02	705		47,60	2,37	−0,88	2,53	339	1,20	−0,08	1,21	356
03	710		45,95	2,43	−1,03	2,64	336	1,26	−0,22	1,28	349
04	720		44,17	2,46	−1,28	2,78	332	1,29	−0,47	1,38	339
05	727M		40,59	2,53	−1,50	2,94	329	1,36	−0,69	1,52	333
06	735		34,79	2,62	−1,85	3,21	324	1,45	−1,04	1,79	324
07	375		25,14	2,71	−2,69	3,82	315	1,54	−1,88	2,43	309
08	444		9,33	2,50	−7,24	7,66	289	1,33	−6,43	6,57	281
09	463		9,55	0,92	−7,58	7,64	276	−0,24	−6,78	6,78	267
10	465		11,71	0,62	−6,35	6,38	275	−0,54	−5,54	5,56	264
11	470		17,01	0,24	−4,53	4,53	273	−0,92	−3,72	3,83	256
12	474B		23,68	0,08	−3,32	3,33	271	−1,08	−2,51	2,74	246
13	476		27,59	0,05	−2,87	2,87	271	−1,11	−2,06	2,34	241
14	479		36,25	0,08	−2,21	2,21	272	−1,08	−1,40	1,77	232
15	480		40,88	0,12	−1,96	1,97	273	−1,04	−1,15	1,56	227
16	481		45,66	0,17	−1,76	1,77	275	−0,99	−0,95	1,38	223
17	482		48,71	0,20	−1,62	1,63	277	−0,96	−0,81	1,26	220
18	488C		49,09	0,10	−1,23	1,24	274	−1,06	−0,42	1,14	201
19	496		50,20	0,05	−0,87	0,88	273	−1,11	−0,06	1,12	183
20	500		52,39	0,07	−0,73	0,74	275	−1,09	0,07	1,09	176
21	505		54,04	0,09	−0,61	0,62	279	−1,07	0,19	1,08	169
22	515		55,82	0,14	−0,42	0,45	288	−1,02	0,37	1,09	159
23	522G		59,39	0,23	−0,33	0,41	305	−0,92	0,47	1,04	153
24	530		65,19	0,39	−0,25	0,46	327	−0,77	0,55	0,95	144
25	540		74,85	0,65	−0,17	0,67	344	−0,51	0,63	0,81	129
26	552		90,66	1,03	−0,14	1,04	351	−0,13	0,66	0,67	101
27	557		90,44	1,19	−0,09	1,19	355	0,02	0,71	0,71	87
28	558		88,28	1,24	−0,07	1,24	356	0,07	0,73	0,73	84
29	561		82,98	1,35	−0,04	1,36	358	0,19	0,76	0,78	76
30	565		76,31	1,50	−0,02	1,50	358	0,33	0,78	0,85	66
31	567		72,40	1,59	−0,02	1,59	359	0,42	0,78	0,89	61
32	572Y		63,74	1,78	−0,01	1,78	359	0,61	0,79	1,00	52
33	575		59,11	1,89	−0,00	1,89	359	0,72	0,80	1,08	47
34	578		54,33	2,00	−0,00	2,00	359	0,83	0,80	1,16	43
35	581		51,28	2,09	−0,03	2,09	0	0,92	0,77	1,20	40
36	614R		50,90	2,19	−0,39	2,23	−10	1,02	0,41	1,10	21
37	701		49,79	2,29	−0,73	2,41	−17	1,12	0,06	1,13	3
U=D50			**100,00**	**1,169**	**−0,809**	**1,422**	**325**	**0,0**	**0,0**	**0,0**	**0**

$a=p_{an}=n_a p_a$=2,5[(1,000x−0,171+0,000z)/y] $A_{nu}=(a-a_u)\,Y$ $C_{ABnu}=[A^2_{nu}+B^2_{nu}]^{1/2}$
$b=p_{bn}=n_b p_b$=−1,0[(0,000x+0,000+1,000z)/y] $B_{nu}=(b-b_u)\,Y$ h_{ABnu}=atan[B_{nu}/A_{nu}]

DE710−8N

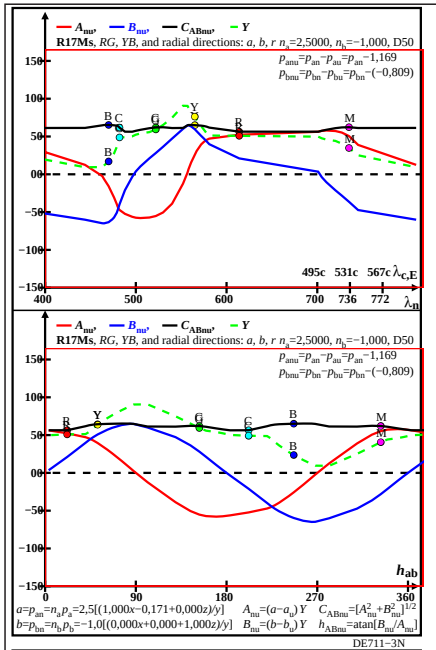

DE711−3N

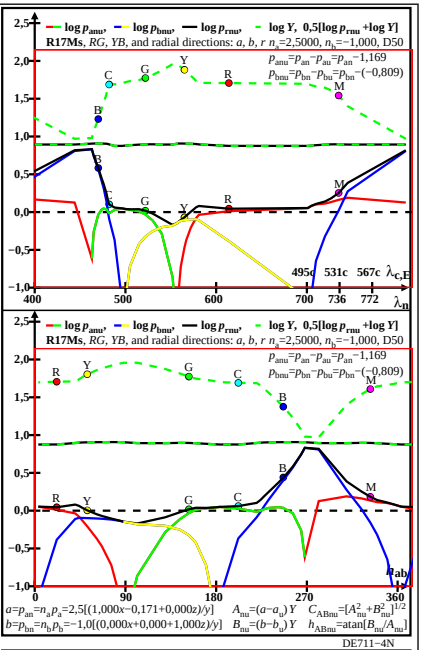

DE711−4N

X_w=93,78, Y_w=100,00, Z_w=80,94
x_w=0,3413 y_w=0,3639 z_w=0,2946
$a'_{1,nu}=(a_1-a_{1,u})\,Y_{18}\,[Y/Y_{18}]^{1/3}$
$b'_{1,nu}=(b_1-b_{1,u})\,Y_{18}\,[Y/Y_{18}]^{1/3}$
$a_1=n_a[(1,000x-0,171+0,000z)/y]$
$b_1=n_b[(0,000x+0,000+1,000z)/y]$
n_a = 2,50, n_b = −1,00
n = D50

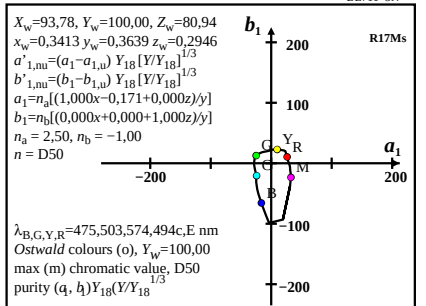

$\lambda_{B,G,Y,R}$=475,503,574,494c,E nm
Ostwald colours (o), Y_w=100,00
max (m) chromatic value, D50
purity (q_1, b_1)Y_{18}($Y/Y_{18}$$^{1/3}$

DE711−7N

X_w=93,78, Y_w=100,00, Z_w=80,94
x_w=0,3413 y_w=0,3639 z_w=0,2946
$a_{1,nu}=(a_1-a_{1,u})\,Y_{18}$
$b_{1,nu}=(b_1-b_{1,u})\,Y_{18}$
$a_1=n_a[(1,000x-0,171+0,000z)/y]$
$b_1=n_b[(0,000x+0,000+1,000z)/y]$
n_a = 2,50, n_b = −1,00
n = D50

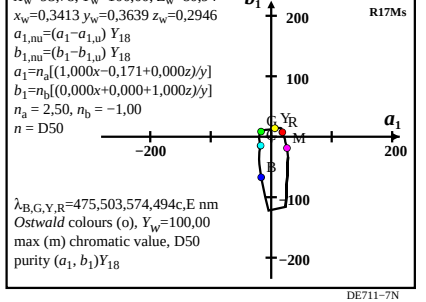

$\lambda_{B,G,Y,R}$=475,503,574,494c,E nm
Ostwald colours (o), Y_w=100,00
max (m) chromatic value, D50
purity (a_1, b_1)Y_{18}

DE711−7R_pchartl=1_xcolorl=5(R17Ms)

X_w=93,78, Y_w=100,00, Z_w=80,94
x_w=0,3413 y_w=0,3639 z_w=0,2946
$A_1=(a_1-a_{1,u})\,Y/[Y/Y_{18}]^{1/3}$
$B_1=(b_1-b_{1,u})\,Y/[Y/Y_{18}]^{1/3}$
$a_1=n_a[(1,000x-0,171+0,000z)/y]$
$b_1=n_b[(0,000x+0,000+1,000z)/y]$
n_a = 2,50, n_b = −1,00
n = D50

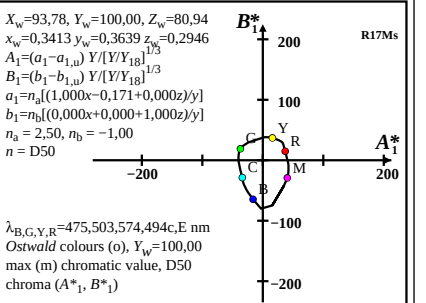

$\lambda_{B,G,Y,R}$=475,503,574,494c,E nm
Ostwald colours (o), Y_w=100,00
max (m) chromatic value, D50
chroma (A^*_1, B^*_1)

DE711−8N

X_w=93,78, Y_w=100,00, Z_w=80,94
x_w=0,3413 y_w=0,3639 z_w=0,2946
$A_1=(a_1-a_{1,u})\,Y$
$B_1=(b_1-b_{1,u})\,Y$
$a_1=n_a[(1,000x-0,171+0,000z)/y]$
$b_1=n_b[(0,000x+0,000+1,000z)/y]$
n_a = 2,50, n_b = −1,00
n = D50

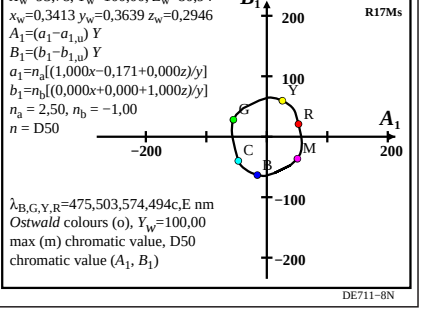

$\lambda_{B,G,Y,R}$=475,503,574,494c,E nm
Ostwald colours (o), Y_w=100,00
max (m) chromatic value, D50
chromatic value (A_1, B_1)

DE711−8N